

52821

PROGRAMA DE CLASSIFICAÇÃO DE DOCUMENTOS

CHOQUE PARA NÊUTRONS RÁPIDOS

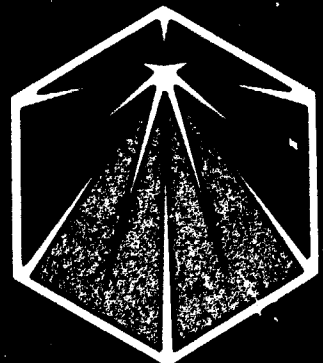
por

Abel Rosato

e

Augusto Brandão d'Oliveira

CTA - EAV - RP - 004 / 77



**INSTITUTO DE ESTUDOS AVANÇADOS**

"MODELO SEMICLÁSSICO DE SEÇÃO DE  
CROQUE PARA NÊUTRONS RÁPIDOS

por

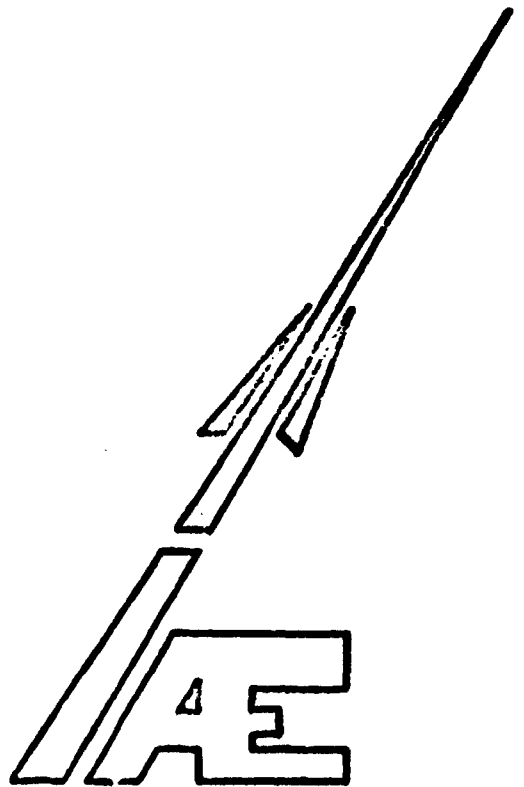
Abel Rosato

e

Augusto Brandão d'Oliveira

CTA - EAV - RP - 004/77

Divisão de Estudos Avançados  
Instituto de Atividades Espaciais  
Centro Técnico Aeroespacial  
12.200-São José dos Campos-SP  
Brasil



## AGRADECIMENTOS

Queremos agradecer ao **Lc. José Alberto Albano do Amarante** pela sugestão deste trabalho e contínuo estímulo.

A **Srta. Eliane D'Ippolito** e à **Sra. Maria Rita Hurpie de Rocha**, pela ajuda no preparo dos programas e dos gráficos.

A **Srta. Carolina Pozzati**, que detilografou uma primeira versão deste trabalho e à **Sra. Elisabete Campiutti**, que detilografou a versão final. A elas nosso obrigado por um excelente trabalho de detilografia.

## CONTEÚDO

I - INTRODUÇÃO .....	1
II - CONCEITUAÇÃO FÍSICA DO ESPALHAMENTO DE NÊUTRONS .....	2
III - TRATAMENTO QUÂNTICO DO ESPALHAMENTO DE NÊUTRONS .....	8
IV - ESPALHAMENTO E REAÇÃO .....	13
V - MODELO DO NÚCLEO COMPOSTO E SEÇÕES DE CHOQUE MÉDIA .....	18
VI - MODELO ÓTICO E RESULTADOS OBTIDOS COM O MODELO ÓTICO .....	23
VII - DESCRIÇÃO SEMICLÁSSICA DA SEÇÃO DE CHOQUE PARA NÊUTRONS RÁPIDOS .....	26
VIII - APLICAÇÃO DO MODELO SEMICLÁSSICO PARA OUTROS NÚCLEOS E OUTRAS ENERGIAS .....	33
IX - CONCLUSÃO .....	52
X - REFERÊNCIAS .....	53

## I - INTRODUÇÃO

O estudo das seções de choque de espalhamento de nêutrons por núcleos atômicos tem grande importância prática. No projeto de reatores as seções de choque são um dado vital, e as incertezas nos valores dessas seções de choque acarretam ônus ao projeto, /R1/.

A medida experimental dessas seções de choque, e a melhoria da precisão experimental é um dos objetivos da pesquisa que está, atualmente, sendo realizada em vários centros nucleares, /1/. Por outro lado, a necessidade de se conhecer seções de choque para certos núcleos em energias nunca medidas, leva a necessidade de interpolação ou cálculo teórico. Para o dimensionamento de reatores, é também de grande interesse a parametrização dessas seções de choque em função do núcleo alvo e da energia do projétil.

Apresentamos um estudo dos principais aspectos do espalhamento de nêutrons, e descrevemos um modelo semiclássico, proposto por Angeli, Csikai e Nagy, /2,3,4/, aplicando esse modelo a diversos casos práticos.

Comparamos os resultados obtidos com dados experimentais, para núcleos deformados, e com resultados teóricos com base no modelo ótico, sem tratamento das deformações.

## II - CONCEITUAÇÃO FÍSICA DO ESPALHAMENTO DE NÊUTRONS

A melhor maneira de se iniciar um estudo em física é, provavelmente, de se adquirir uma certa familiaridade com os resultados experimentais, suas ordens de grandeza e comportamentos característicos. Portanto, antes de abordarmos teoricamente o assunto do espalhamento de nêutrons, consideremos os resultados que são obtidos.

As Figuras 1,2 e 3 mostram o comportamento da seção de choque total de espalhamento de nêutrons de energias de  $10^{-4}$  eV até 100 MeV incidentes num núcleo alvo de Bismuto.

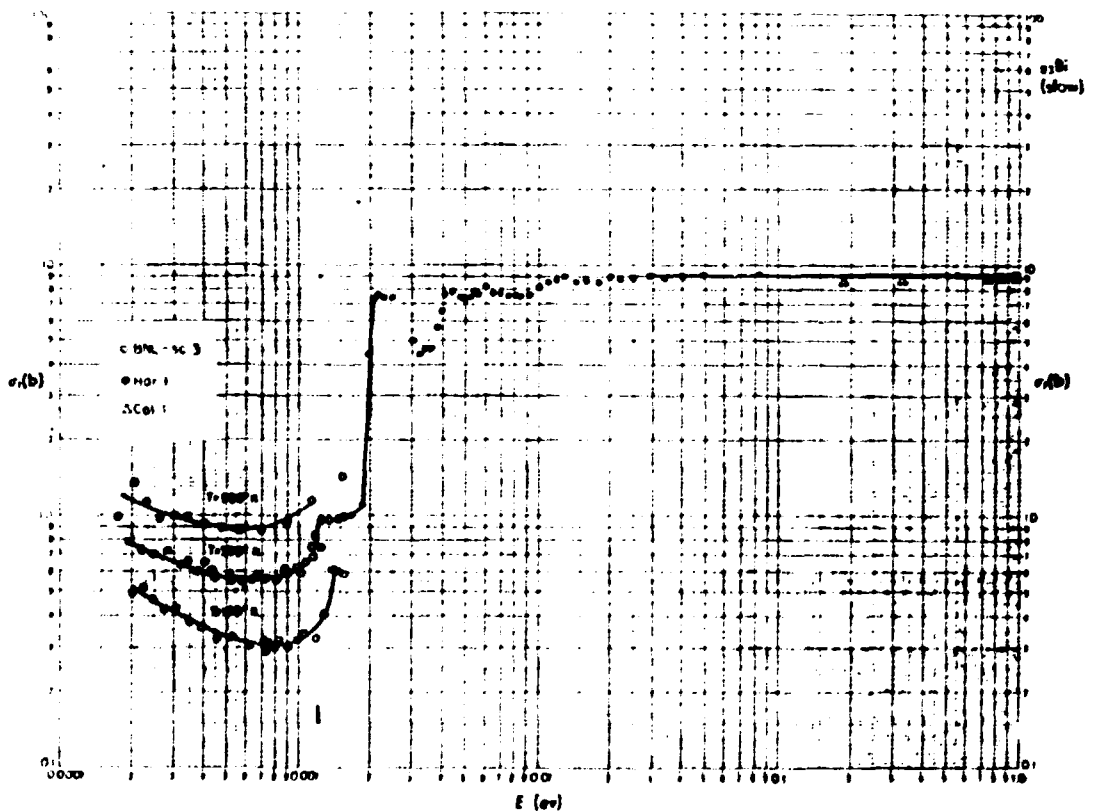


Fig. 1 - A seção de Choque total do Bismuto em função da energia do nêutron de  $10^{-4}$  eV até 1 eV. /24/

Para uma recapitulação geral dos aspectos experimentais relativos à medida dessas seções de choque, veja o trabalho de resenha de Adair, /5/.

Para as seções de choque de espalhamento de nêutrons, podemos distinguir três intervalos de energia:

- (1) Para nêutrons incidentes com baixa energia, as seções de choque apresentam uma variação proporcional a  $1/v$ .
- (2) Para energias da ordem de alguns eV ou KeV, temos o aparecimento de ressonâncias. Enquanto as larguras das linhas forem menores que a separação dos níveis, as seções de espalhamento e de reação mostram ressonâncias individuais e dependem fortemente da energia incidente. Essa região estende-se até aproximadamente 1 MeV.
- (3) Para energias mais acima de 0.1 MeV ou 1 MeV, as ressonâncias tornam-se tão densas e tão largas, que se superpõem. O resultado é que medimos uma média. Nessa região, que é a região de interesse para nós, é que é aplicável o modelo ótico ou modelos semiclássicos como o que será descrito no Cap. VIII.

Esse comportamento pode ser observado nas Figuras 1, 2 e 3. A região (1) corresponde as energias de 0.0001 eV até 0.001 eV. Em seguida vem a região (2), que termina aproximadamente em 0.1 MeV, e a partir dessa energia temos a região (3).

As Figuras 4 e 5 ilustram de maneira mais dramática a região  $1/v$  (1), no espalhamento de nêutrons em ouro e a região de ressonância (2), no espalhamento de nêutrons em prata, respectivamente.

A Figura 6 nos mostra o comportamento da seção de choque total para o espalhamento de nêutrons em vários núcleos, numa faixa de energias correspondendo a região (3).

Importante, também, é a seção de choque diferencial de espalhamento elástico.

A Figura 7 ilustra resultados típicos, onde a seção de choque diferencial de espalhamento elástico é mostrada contra o ângulo de espalhamento no laboratório, para o espalhamento de nêutrons de 14 MeV em diversos núcleos alvo.

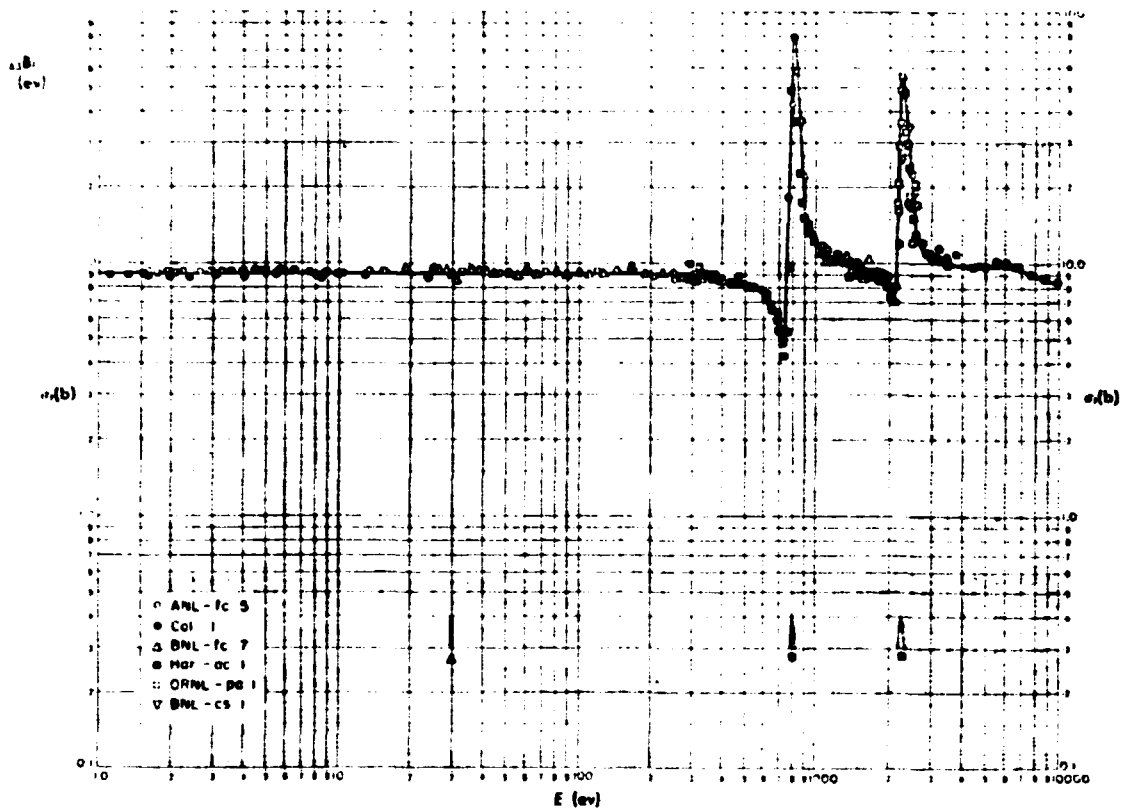


Fig. 2 - A seção de choque total do Bismuto na região de baixas energias. /22/

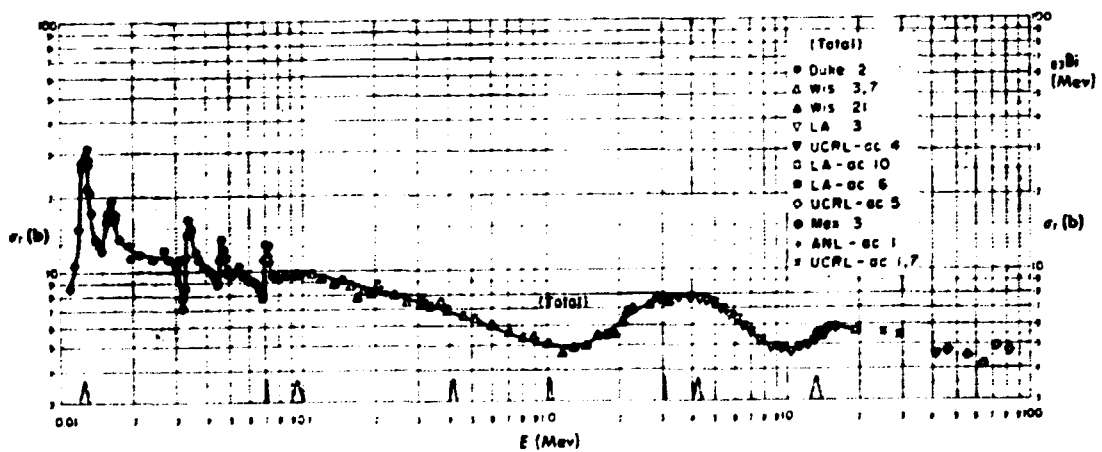


Fig. 3 - A seção de choque total do Bismuto em função da energia do nêutron de  $10^{-6}$  eV até 15 MeV. /22/

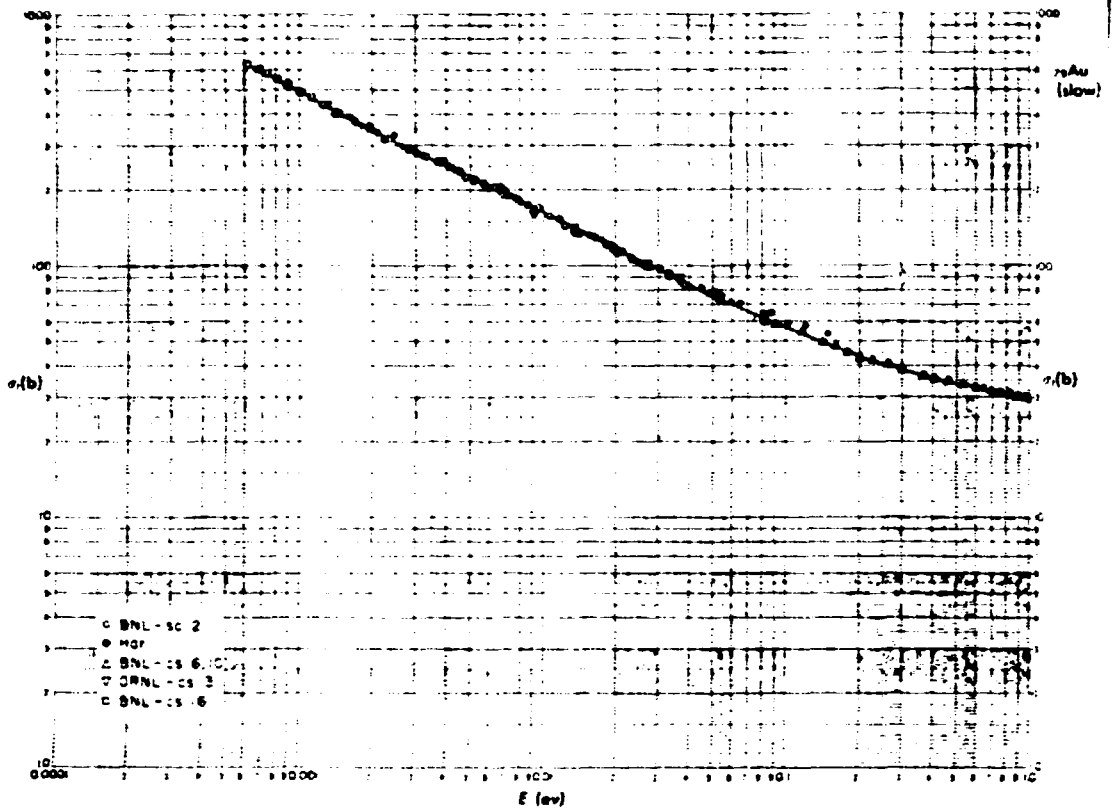


Fig. 4 - Seção de choque total do ouro para nêutrons lentos. /22/

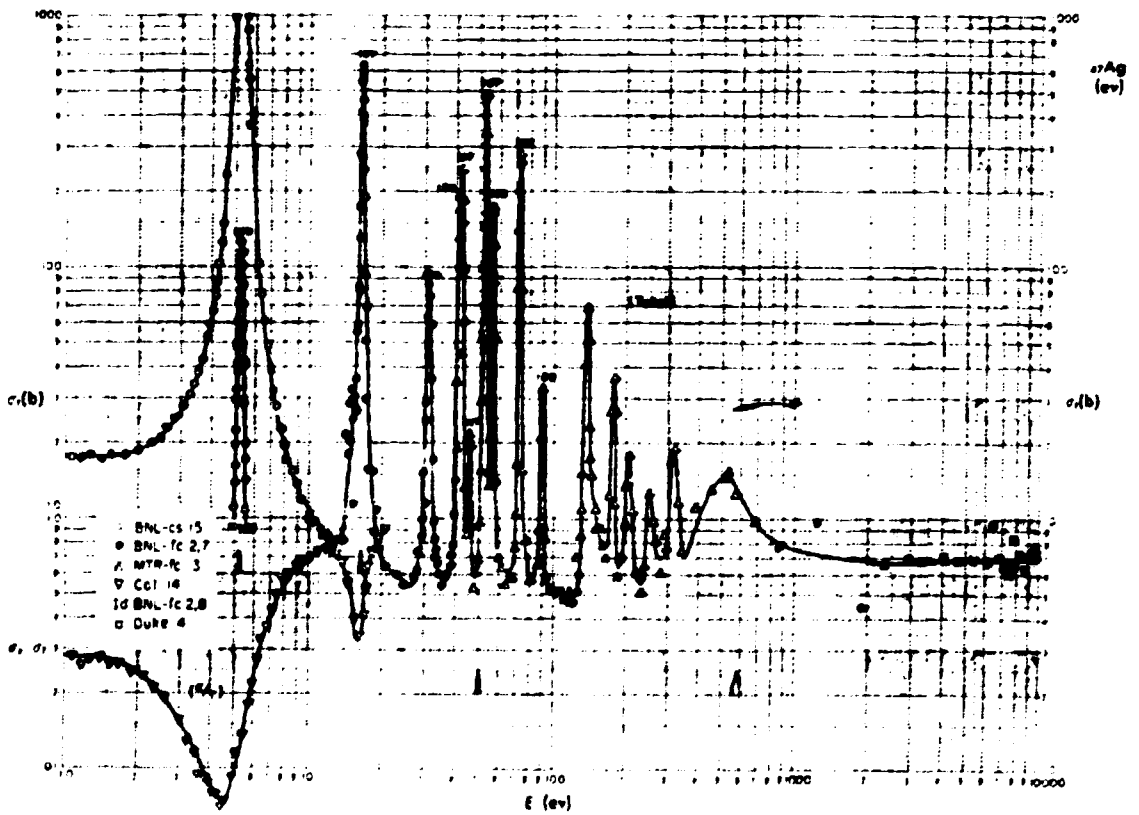


Fig. 5 - A seção de choque total para nêutrons em prata na região de baixas energias. /22/

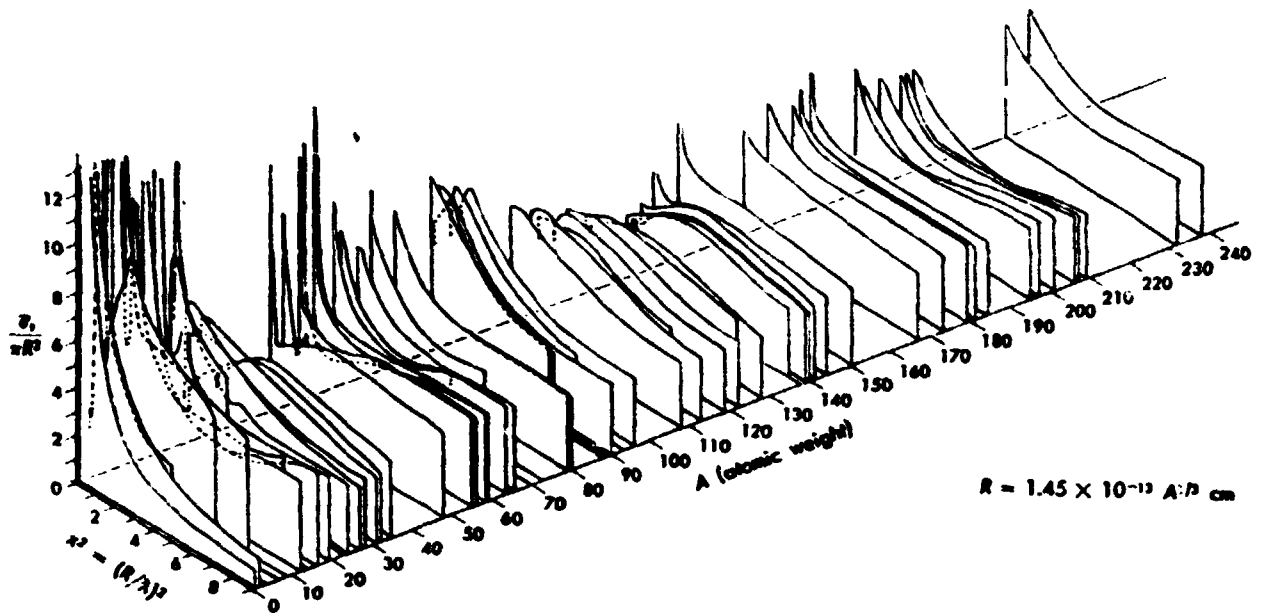


Fig. 6 - Seção de choque total para nêutrons em função da energia e do número de massa. A energia é dada como  $x^2 = (R/\lambda)^2$ , onde  $\lambda$  é o comprimento de onda de Broglie dos nêutrons. /23/

A interpretação desses resultados é o que iremos estudar e tentar descrever por meio de modelos.

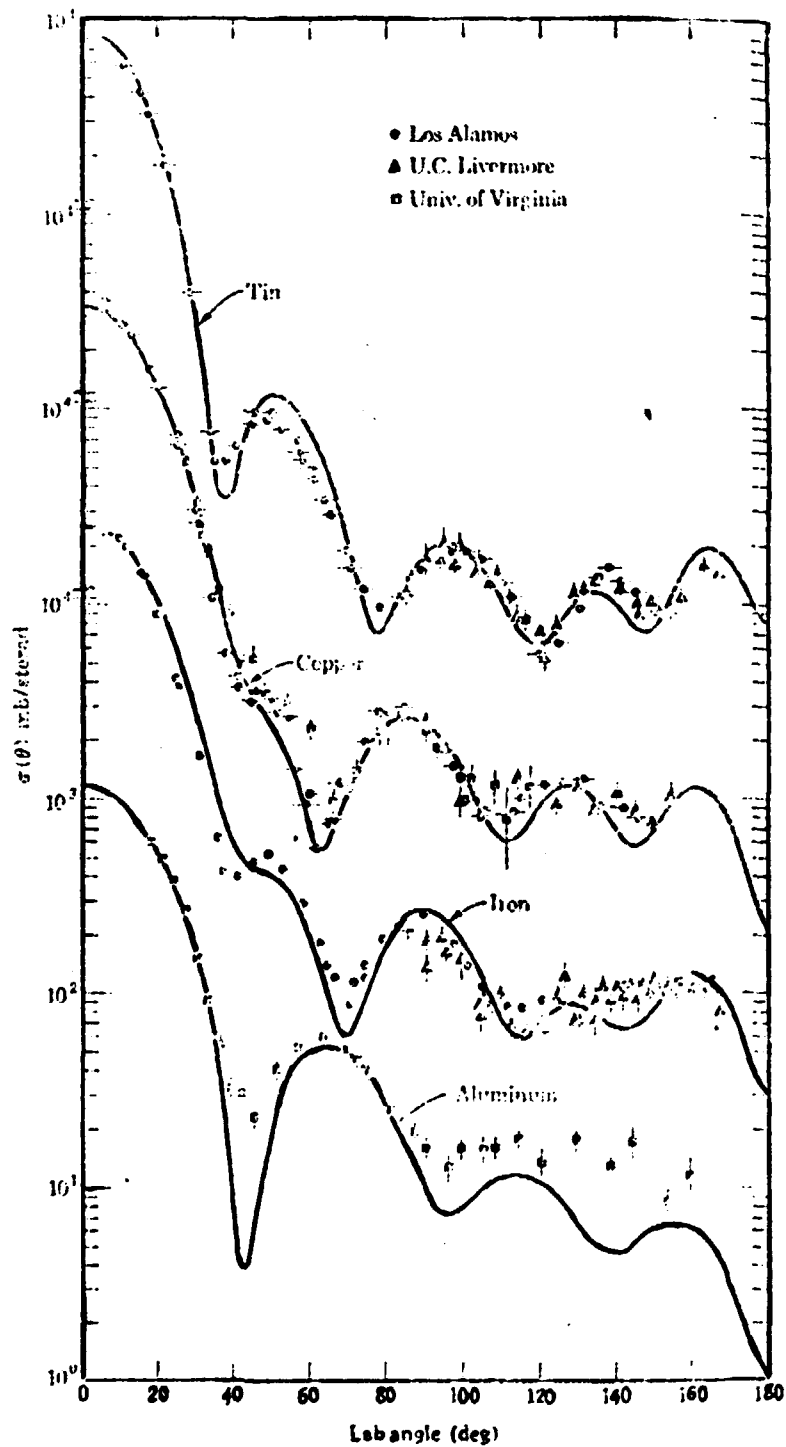


Fig. 7 - Seções de choque diferenciais experimentais e teóricas para nêutrons de 14 MeV espalhados por Sn, Cu, Fe, Al (dados não corrigidos pelo espalhamento múltiplo /6/).

### III - TRATAMENTO QUÂNTICO DO ESPALHAMENTO DE NÊUTRONS

Consideremos uma partícula, de energia E, incidindo num potencial esfericamente simétrico V(r). A equação de Schrödinger para o problema é:

$$(\nabla^2 + k_0^2 - U(r)) \psi(\vec{r}) = 0 \quad (1)$$

onde

$$k_0^2 \equiv \frac{2m}{\hbar^2} E \quad (2)$$

$$U(r) = \frac{2m}{\hbar^2} V(r) \quad (3)$$

Um conjunto completo de funções solução desta equação é da forma, desprezando spin,

$$\psi_{\ell m}(r) = \frac{R_{\ell}(r)}{\rho} Y_{\ell m}(\theta, \phi) \quad (4)$$

onde  $R_{\ell}(r)$  é a solução regular da equação

$$\left[ \frac{d^2}{d\rho^2} + \left( 1 - \frac{\ell(\ell+1)}{\rho^2} - \frac{U}{E} \right) \right] R_{\ell} = 0 \quad (5)$$

$Y_{\ell m}$  são os harmônicos esféricos e a variável  $\rho = k_0 r$ , onde  $k_0$  é dado pela equação (2) e E é a energia da partícula incidente.

A solução mais geral da equação de Schrödinger acima pode ser escrita como

$$\psi(\vec{r}) = \sum_{\ell m} a_{\ell m} \psi_{\ell m} = \sum_{\ell m} a_{\ell m} \frac{R_{\ell}}{\rho} Y_{\ell m} \quad (6)$$

Considerando o eixo z como sendo paralelo ao vetor de onda  $\vec{k}$  da partícula incidente vem que

$$\psi(\vec{r}) = \sum_{\ell} b_{\ell} \frac{R_{\ell}}{\rho} P_{\ell}(\cos \theta) \quad (7)$$

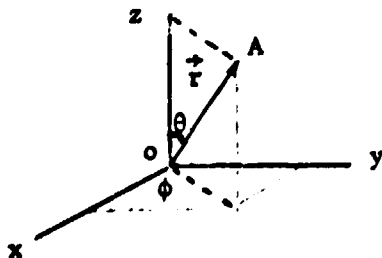


Fig. 8

onde  $P_l(\cos \theta)$  são os polinômios de Legendre.

Pode-se mostrar que /B4/

$$b_l = i^l (2l + 1) e^{i\delta_l} \quad (8)$$

onde  $i = \sqrt{-1}$  e  $\delta_l$  é a mudança de fase da onda parcial  $l$ .

Com isto, a solução da equação de Schrödinger para uma partícula de energia  $E$ , e potencial esfericamente simétrico é dada por

$$\psi_{lm}(\vec{r}) = \sum_{l=0}^{\infty} i^l (2l + 1) \frac{R_l}{\rho} P_l(\cos \theta) e^{i\delta_l} \quad (9)$$

onde  $R_l$  satisfaz a equação radial (5).

Consideremos o caso particular em que  $V(r) = 0$  nas regiões  $r \rightarrow \infty$ . Com isto a equação (5) fica

$$\left( \frac{d^2}{d\rho^2} + 1 \right) R_l \approx 0 \quad (10)$$

e as soluções são da forma  $e^{\pm(i\rho + \phi_l)}$  onde  $\phi_l$  é uma fase. Tal solução poderá ser escrita como uma combinação de onda esférica indo da origem para o infinito  $e^{i(\rho + \phi_l)}$ , e outra vindo do infinito para a origem, isto é:

$$\frac{R_l}{\rho} = \frac{1}{\rho} \left( e^{i(\rho + \phi_l)} + e^{-i(\rho + \phi_l)} \right) \quad (11)$$

Entretanto, sendo  $V(r) \neq 0$  e considerando que o alcance de  $V$  seja finito, tal que  $\lim_{r \rightarrow \infty} rV(r) = 0$ , podemos escrever as soluções da equação (5) para  $r \rightarrow \infty$  também como a combinação linear de uma onda esférica vindo do infinito para a origem (onde está localizado o potencial) e uma onda esférica indo da origem para o infinito, com a ressalva de que esta onda que vai para o infinito já sofreu os efeitos do potencial localizado na origem e não pode ter a mesma amplitude da onda que vem do infinito e que não sentiu os efeitos do potencial. Para levar em conta o efeito do potencial na amplitude da onda indo para o infinito, define-se o número complexo  $S_l$ , chamado elemento diagonal da matriz de espalhamento, e com isto a solução da eq. (5) para  $r \rightarrow \infty$  fica

$$\frac{R_l}{\rho} = \frac{1}{2i\rho} \left[ S_l e^{i(\rho - \pi l/2)} - e^{-i(\rho - \pi l/2)} \right] \quad (12)$$

onde a fase  $\phi_l = \pi l/2$ .

Então podemos afirmar que a solução (6) para  $r \rightarrow \infty$  é da forma

$$\psi(\vec{r}) \xrightarrow{r \rightarrow \infty} \sum_{\ell=0}^{\infty} i^{\ell} (2\ell + 1) \frac{1}{2i\rho} \left[ S_{\ell} e^{i(\rho - \pi\ell/2)} - e^{-i(\rho - \pi\ell/2)} \right] P_{\ell}(\cos \theta) \quad (13)$$

Somando e subtraindo  $e^{i(\rho - \pi\ell/2)}$ , obtemos

$$\psi(\vec{r}) \xrightarrow{r \rightarrow \infty} e^{ikz} + \sum_{\ell=0}^{\infty} i^{\ell} (2\ell + 1) \frac{1}{2i\rho} (S_{\ell} - 1) e^{i(\rho - \pi\ell/2)} P_{\ell}(\cos \theta) \quad (14)$$

visto que a expansão de uma onda plana em termos dos harmônicos esféricos é sabido ser

$$e^{ikz} = \sum_{\ell=0}^{\infty} i^{\ell} (2\ell + 1) P_{\ell}(\cos \theta) j_{\ell}(\rho) \quad (15)$$

onde o comportamento da função de Bessel esférica  $j_{\ell}(\rho)$  para  $r \rightarrow \infty$ , consiste numa onda esférica vindo do infinito e uma onda esférica indo para o infinito.

Por outro lado, considerando o potencial  $V(\vec{r})$  centrado na origem, e sendo  $e^{ik_0 z}$  a onda incidente nesta região, queremos saber qual é a onda após passar pelo potencial. Assumimos que

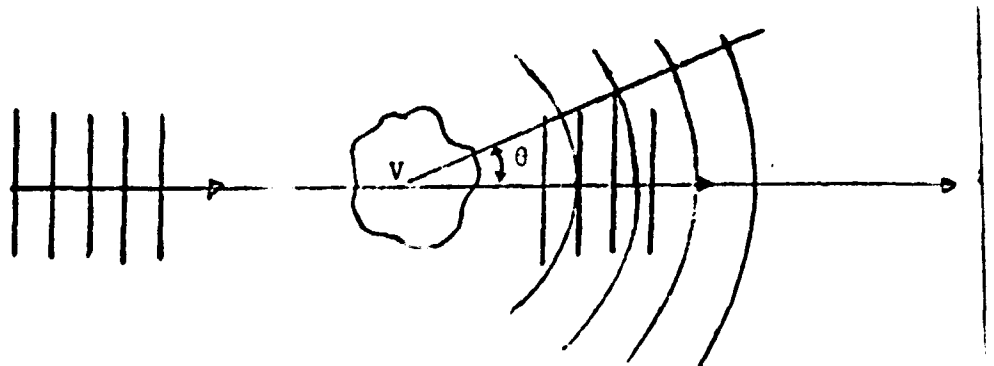


Fig. 9

esta onda  $\psi$  é a superposição da onda incidente  $e^{ik_0 z}$  com uma onda espalhada  $\psi_{esp}$ , isto é

$$\psi = e^{ik_0 z} + \psi_{esp} \quad (16)$$

e que a onda espalhada, para  $r \rightarrow \infty$ , é uma onda esférica de amplitude  $A(\theta)$ . Então a solução do problema é

$$\psi \xrightarrow{r \rightarrow \infty} e^{ik_0 z} + \frac{A(\theta)}{r} e^{i\rho} \quad (17)$$

onde a dependência em  $\phi$  inexistente se  $V(r)$  for esfericamente simétrico.

$A(\theta)$  é chamada de amplitude de espalhamento, e  $\psi_{\text{esp}} = \frac{A(\theta)}{r} e^{i\rho}$ . Comparando (17) com (14) identificamos a amplitude de espalhamento como

$$A(\theta) = \sum_{\ell=0}^{\infty} \frac{1}{2ik_0} (2\ell + 1) (S_{\ell} - 1) e^{-i \frac{\pi\ell}{2}} P_{\ell}(\cos \theta) \quad (18)$$

$$A(\theta) = \sum_{\ell=0}^{\infty} \frac{1}{2ik_0} (2\ell + 1) (S_{\ell} - 1) P_{\ell}(\cos \theta) \quad (19)$$

O conceito importante no caso de um feixe de partículas incidente numa região de potencial é o conceito de seção de choque. A seção de choque está ligada a probabilidade que um determinado evento aconteça. A seção de choque  $\sigma_i$  mede a probabilidade de ocorrência do evento  $i$  e é definida como  $d\sigma_i = n^{\circ}$  de eventos  $i$  considerados por seg. por centro espalhador no ângulo sólido  $d\Omega$  dividido pelo número de partículas incidentes por  $\text{cm}^2$  por seg.

Então

$$d\sigma_i = \frac{dN_i}{j_i} = \sigma_i(\theta, \phi) d\Omega \quad (20)$$

O fluxo de partículas  $\vec{j}_i$  é determinado diretamente através da função de onda, isto é:

$$\vec{j}_i = - \frac{i\hbar}{2m} (\psi_i^* \nabla \psi_i - \psi_i \nabla \psi_i^*) \quad (21)$$

e o número  $N_i$  de eventos do tipo  $i$  ocorridos por segundo é dado por

$$N_i = \int dN_i = \int_{\text{superfície esférica}} \vec{j}_i \cdot dS \hat{n} = \int_{\text{superfície esférica}} j_i r^2 d\Omega \quad (22)$$

Com isto a seção de choque poderá ser obtida, e a probabilidade que o evento  $i$  ocorra quando um fluxo de partículas incide num alvo, poderá ser determinada.

A seção de choque  $\sigma_i(\theta, \phi)$ , assim como definida em (20), é chamada de seção de choque diferencial, e depende naturalmente dos ângulos  $\theta$  e  $\phi$ .

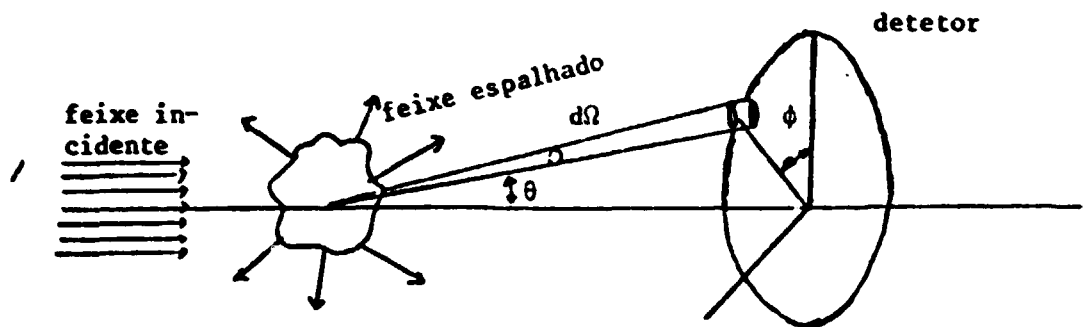


Fig. 10

Se o potencial for esfericamente simétrico, então a seção de choque depende de  $\theta$  somente.

A seção de choque total é definida como

$$\sigma_1 = \int_{\text{ângulo sólido}} d\sigma_1 = \frac{N_1}{j_1} \quad (23)$$

#### IV - ESFALHAMENTO E REAÇÃO

Vimos como podemos tratar quânticamente o espalhamento de uma partícula por um potencial esfericamente simétrico.

Ao fazermos incidir um nêutron sobre um núcleo, outros fenômenos podem ocorrer que o mero espalhamento.

A Figura 11 mostra esquematicamente os tipos de reações que podem ocorrer ao fazermos incidir uma partícula a sobre um núcleo alvo A.

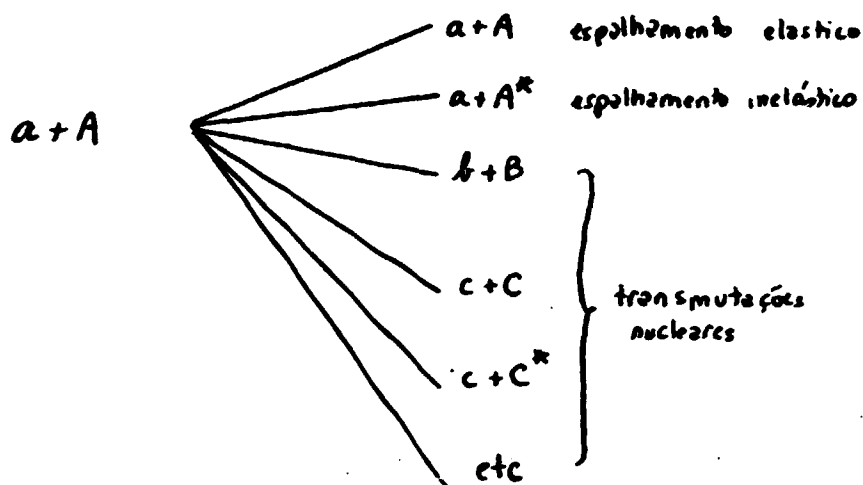


Fig. 11

Podemos dividir esses fenômenos como fenômenos de espalhamento elástico e de reação. Os fenômenos de reação incluem o espalhamento inelástico.

Para calcular a seção de choque de espalhamento elástico e de reação, devemos calcular  $N_{esp}$  e  $N_R$ , isto é, o número de espalhamento ou reações por segundo por centro espalhador.

O número de partículas espalhadas é, de acordo com (22)

$$N_{esp} = \int dN_{esp} = \int j_{esp} r^2 d\Omega \quad (24)$$

onde

$$\vec{j}_{esp} = -\frac{\hbar k}{2m} (\psi_{esp}^* \nabla \psi_{esp} - \psi_{esp} \nabla \psi_{esp}^*) \quad (25)$$

e  $\psi_{\text{esp}}$  é dada pela identificação através de (16).

Procedendo desta forma, obtemos

$$dN_{\text{esp}} = v |A(\theta)|^2 d\Omega \quad (26)$$

$$j_{\text{inc.}} = v$$

Com isto a seção de choque diferencial para espalhamento elástico é

$$d\sigma_{\text{esp}} = \sigma_{\text{esp}}(\theta) d\Omega = |A(\theta)|^2 d\Omega \quad (27)$$

e sendo  $d\Omega = 2\pi \sin\theta d\theta$  vem

$$\sigma_{\text{esp}} = \int d\sigma_{\text{esp}} = \int |A|^2 2\pi \sin\theta d\theta \quad (28)$$

Como conhecemos a amplitude de espalhamento em termos da matriz de espalhamento S (eq. 19) temos que

$$\sigma_{\text{esp}}(\theta) = |A(\theta)|^2 = \left| \sum_{\ell=0}^{\infty} \frac{1}{2ik_0} (2\ell+1) (S_{\ell}-1) P_{\ell}(\cos\theta) \right|^2 \quad (29)$$

Então a seção de choque diferencial vem

$$\sigma_{\text{esp}}(\theta) = \frac{1}{4k_0^2} \left| \sum_{\ell=0}^{\infty} (2\ell+1) (S_{\ell}-1) P_{\ell}(\cos\theta) \right|^2 \quad (30)$$

E a seção de choque integral de espalhamento elástico, é

$$\sigma_{\text{esp}} = \int \sigma(\theta) d\Omega = 2\pi \int \sin\theta \sigma(\theta) d\theta \quad (31)$$

$$\sigma_{\text{esp}} = \frac{\pi}{k_0^2} \sum_{\ell=0}^{\infty} (2\ell+1) |S_{\ell}-1|^2 \quad (32)$$

Se o espalhamento é não elástico, isto é, se parte da energia cinética da partícula incidente é usada para excitar o núcleo, ou se o número de partículas emergentes é menor do que o número incidente, então temos o evento denominado reação e a probabilidade deste evento é medida pela seção de choque de reação,  $\sigma_R$ . Para determiná-la basta conhecer o número  $N_R$  de partículas que sofrem reação. Este número está ligado à amplitude da onda esférica indo para o infinito. Isto é, por (13)

$$|\psi_{\text{inc}}|^2 \sim n^2 \text{ de partículas incidentes} = \alpha^2$$

$$|\psi_{\text{esp}}|^2 = n^{\circ} \text{ de partículas que saem} = \alpha^2 |S_{\ell}|^2$$

O número de partículas absorvidas  $= 1 - |S_{\ell}|^2$ .

Neste caso então a seção de choque de reação total será:

$$\sigma_R = \frac{\pi}{k_0^2} \sum_{\ell=0}^{\infty} (2\ell + 1) (1 - |S_{\ell}|^2) \quad (33)$$

A seção de choque total será a soma de  $\sigma_{\text{esp}} = \sigma_R$ , isto é:

$$\sigma_T = \frac{\pi}{k_0^2} \sum_{\ell=0}^{\infty} (2\ell + 1) \left[ |1 - S_{\ell}|^2 + 1 - |S_{\ell}|^2 \right] \quad (34)$$

$$\sigma_T = \frac{\pi}{k_0^2} \sum_{\ell=0}^{\infty} (2\ell + 1) (2 - S_{\ell}^* - S_{\ell}) \quad (35)$$

O número de ondas parciais que entram na expansão (9) e que aparecem na somatória na seção de choque, não é infinito, mas vai até um valor máximo, denominado  $\ell_{\text{max}}$ .

Como  $V$  tem alcance finito, consideremos que  $V \neq 0$  dentro de uma esfera de raio  $r_0$ . Para  $r > r_0$   $V = 0$  e portanto  $S_{\ell} = 1$  e a equação radial, neste caso é

$$\frac{d^2}{d\rho^2} + \left( 1 - \frac{\ell(\ell+1)}{\rho} \right) R_{\ell} = 0 \quad (36)$$

e a única força atuante na partícula é aquela oriunda do potencial centrífugo

$$V_C = \frac{\hbar^2}{2m} \frac{\ell(\ell+1)}{r^2} \quad (37)$$

Para um dado  $\ell$  a energia total da partícula, que é constante, consiste de uma energia cinética radial  $T_r$  (que é positiva) e uma energia potencial (repulsiva)  $V_C$ , isto é:

$$E = T_r + V_C \quad (38)$$

Dado que  $V_C$  cresce quando  $r$  decresce, existem valores  $r$  para os quais toda energia da partícula advém de  $V_C$ , isto é,  $T_r = 0$ . O conjunto destes valores de  $r$  definem a superfície de uma esfera, dentro do qual a partícula não pode penetrar, visto que isto implicaria numa energia cinética radial negativa. O raio desta esfera,  $r_c$ , naturalmente depende de  $\ell$ .

Com isto podemos definir a distância do "close-approach",  $r_c$ , da partícula incidente com o alvo que obviamente é

$$\frac{\hbar^2}{2m} \frac{l(l+1)}{r_c^2} = E = \frac{\hbar^2}{2m} k_0^2 \quad (39)$$

Então

$$k_0 r_c = \sqrt{l(l+1)} \quad (40)$$

Se para um dado  $l$  e para uma dada energia incidente  $k_0$ ,  $r_c > r_0$ , então não haverá espalhamento ou reação e neste caso  $S_l = 1$  e  $\sigma = 0$ .

Se  $r_c < r_0$  haverá interação e portanto a seção de choque será diferente de zero. Logo  $\sigma \neq 0$  se

$$r_c < r_0 \quad \text{ou} \quad k_0 r_c < k_0 r_0$$

e por (40) vem:

$$\sqrt{l(l+1)} < k_0 r_0 \quad (41)$$

O máximo valor de  $l$ ,  $l_{\max}$  é aquele para o qual

$$\sqrt{l_{\max}(l_{\max}+1)} = k_0 r_0 \quad (42)$$

ou

$$l_{\max} \approx k_0 r_0 \quad (43)$$

Assumimos a matriz de espalhamento  $S_l$  da forma

$$S_l = e^{i\Delta_l} \quad (44)$$

onde  $\Delta_l = \delta_l + i\beta_l$  e em particular nenhuma dependência com  $l$ , isto é,  $\Delta_l = \delta + i\beta$ . Com isto

$$S_l = S = e^{i(\delta + i\beta)} = \rho e^{i\delta} \quad (45)$$

onde  $\rho = \exp(-\beta)$  e  $\delta$  é a mudança de fase, devido ao potencial.

Nestas condições (30), (32), (33) e (35) se tornam

$$\sigma_{\text{esp}}(\theta) = \frac{1}{4k_0^2} (1 + \rho^2 - 2\rho \cos \delta) \left| \sum_{\ell=0}^{\ell_{\text{max}}} (2\ell + 1) P_{\ell}(\cos \theta) \right|^2 \quad (30')$$

$$\sigma_{\text{esp}} = \frac{\pi}{k_0^2} (1 + \rho^2 - 2\rho \cos \delta) \sum_{\ell=0}^{\ell_{\text{max}}} (2\ell + 1) \quad (32')$$

$$\sigma_{\text{R}} = \frac{\pi}{k_0^2} (1 - \rho^2) \sum_{\ell=0}^{\ell_{\text{max}}} (2\ell + 1) \quad (33')$$

$$\sigma_{\text{T}} = \sigma_{\text{esp}} + \sigma_{\text{R}} = \sigma_{\text{T}} = \frac{\pi}{k_0^2} (2 - 2\rho \cos \delta) \sum_{\ell=0}^{\ell_{\text{max}}} (2\ell + 1) \quad (35')$$

Devemos notar que sendo  $\ell_{\text{max}} = k_0 r_0$  a soma indicada acima é dada por

$$\sum_{\ell=0}^{k_0 r_0} (2\ell + 1) = (1 + k_0 r_0)^2 \quad (46)$$

Definindo a seção de choque do núcleo negro,  $\sigma_{\text{BN}}$  como o

$$\sigma_{\text{BN}} = 2\pi \left[ r_0 + \frac{1}{k_0} \right]^2 \quad (47)$$

obtemos

$$\sigma_{\text{esp}}(\theta) = \frac{1}{4k_0^2} (1 + \rho^2 - 2\rho \cos \delta) \left| \sum_{\ell=0}^{\ell=k_0 r_0} (2\ell + 1) P_{\ell}(\cos \theta) \right|^2 \quad (48)$$

$$\sigma_{\text{esp}} = \frac{1}{2} \sigma_{\text{BN}} (1 + \rho^2 - 2\rho \cos \delta) \quad (49)$$

$$\sigma_{\text{R}} = \frac{1}{2} \sigma_{\text{BN}} (1 - \rho^2) \quad (50)$$

$$\sigma_{\text{T}} = \sigma_{\text{BN}} (1 - \rho \cos \delta) \quad (51)$$

V - MODELO DO NÚCLEO COMPOSTO E SEÇÕES DE CHOQUE MÉDIA

Numa reação nuclear



uma possibilidade ainda não considerada é a da formação de um núcleo composto, isto é, com a colisão de a com o alvo A, há a criação de um estado intermediário excitado (a+A) (também chamado de núcleo composto c), o qual existe por um tempo consideravelmente maior que o tempo necessário para que a partícula atravesse a região do espaço ocupado por A.

Se essa condição for satisfeita, antes do núcleo decair em pedaços b + B, ele está excitado como um todo, e não tem memória de como foi excitado.

Se um núcleo composto é formado ou não numa reação nuclear, depende muito da energia da partícula incidente. Podemos ter os casos seguintes:

- (a) Núcleo Transparente - a partícula a passa pelo núcleo A sem reagir.
- (b) Núcleo Preto - toda partícula que colide com A forma um núcleo composto.
- (c) Reação Direta - a partícula a reage somente com uma parte de A.

A Fig. 12 abaixo, mostra uma esquematização das possíveis reações entre duas partículas, com formação de núcleo composto.

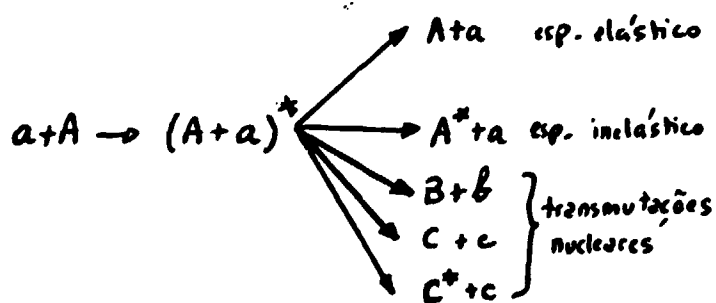


Fig. 12

Vamos separar a seção de choque total em seção de choque para espalhamento de potencial e seção de choque de reação. Sabemos que

$$\sigma_{\text{esp}} = \sum_{\ell=0}^{\infty} \sigma_{\ell, \text{esp}} \quad (53)$$

$$\sigma_{\ell, \text{esp}} = \pi \lambda^2 (2\ell + 1) |1 - S_{\ell}|^2 \quad (54)$$

$$\sigma_R = \sum_{\ell=0}^{\infty} \sigma_{\ell, R} \quad (55)$$

$$\sigma_{\ell, R} = \pi \lambda^2 (2\ell + 1) (1 - |S_{\ell}|)^2 \quad (56)$$

Faremos agora uma média sobre um intervalo de energia I, o qual deve ser pequeno, comparado com E, de tal forma que funções que variam lentamente com E como  $\lambda^2$  não se alterem quando fizermos a média sobre o intervalo E. Definimos:

$$\overline{S_{\ell}} = \frac{1}{I} \int_{E - \frac{I}{2}}^{E + \frac{I}{2}} S_{\ell}(E') dE' \quad (57)$$

e as seções de choque são:

$$\overline{\sigma_{\ell, \text{Scat}}} = \pi \lambda^2 (2\ell + 1) \overline{|1 - S_{\ell}|^2} \quad (58)$$

$$\overline{\sigma_{\ell, R}} = \pi \lambda^2 (2\ell + 1) (1 - \overline{|S_{\ell}|^2}) \quad (59)$$

a expressão para  $\overline{\sigma_{\ell, \text{Scat}}}$  pode ser transformada

$$\begin{aligned} \overline{\sigma_{\ell, \text{Scat}}} &= \pi \lambda^2 (2\ell + 1) \overline{(1 - S_{\ell} - S_{\ell}^* + |S_{\ell}|^2)} \\ &= \pi \lambda^2 (2\ell + 1) (1 - \overline{S_{\ell}} - \overline{S_{\ell}^*} + \overline{|S_{\ell}|^2}) \end{aligned} \quad (60)$$

como

$$|1 - \overline{S_{\ell}}|^2 = 1 - \overline{S_{\ell}} - \overline{S_{\ell}^*} + \overline{|S_{\ell}|^2} \quad (61)$$

$$\begin{aligned} \overline{\sigma_{\ell, \text{Scat}}} &= \pi \lambda^2 (2\ell + 1) (|1 - \overline{S_{\ell}}|^2 - \overline{|S_{\ell}|^2} + \overline{|S_{\ell}|^2}) \\ &= \pi \lambda^2 (2\ell + 1) |1 - \overline{S_{\ell}}|^2 + \pi \lambda^2 (2\ell + 1) (\overline{|S_{\ell}|^2} - |\overline{n_{\ell}}|^2) \\ &= (\overline{\sigma_{\ell, \text{Scat}}})_{\text{pot}} + (\overline{\sigma_{\ell, \text{Scat}}})_{\text{res}} \end{aligned} \quad (62)$$

A seção de choque de espalhamento com formação de núcleo composto é somada à seção de choque de reação para obtermos a seção de choque para a formação do núcleo composto  $\sigma_{l,c}$ .

$$\begin{aligned}\overline{\sigma_{l,c}} &= \overline{\sigma_{l,R}} + \overline{(\sigma_{l,scat})} \\ &= \pi\lambda^2(2l+1)(1 - |\overline{S_l}|^2)\end{aligned}\quad (63)$$

A seção de choque total média é

$$\begin{aligned}\overline{\sigma_{l,tot}} &= \overline{\sigma_{l,scat}} + \overline{\sigma_{l,R}} \\ &= \pi\lambda^2(2l+1)(2 - \overline{S_l}^* - \overline{S_l}) \\ &= 2\pi\lambda^2(2l+1) [1 - R_E(\overline{S_l})]\end{aligned}\quad (64)$$

A Figura 13 apresenta um diagrama ilustrativo dos vários tipos de seção de choque.

Nela está incluído o fato que as reações também podem passar sem a formação do núcleo composto.

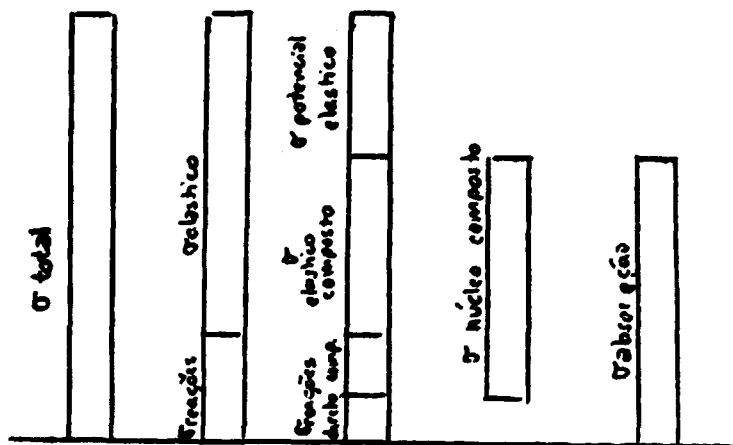


Fig. 13 - Diagrama ilustrativo dos vários tipos de seção de choque.

A Fig. 14 nos dá uma visão total dos processos que ocorrem na reação de duas partículas  $a$  e  $A$ .

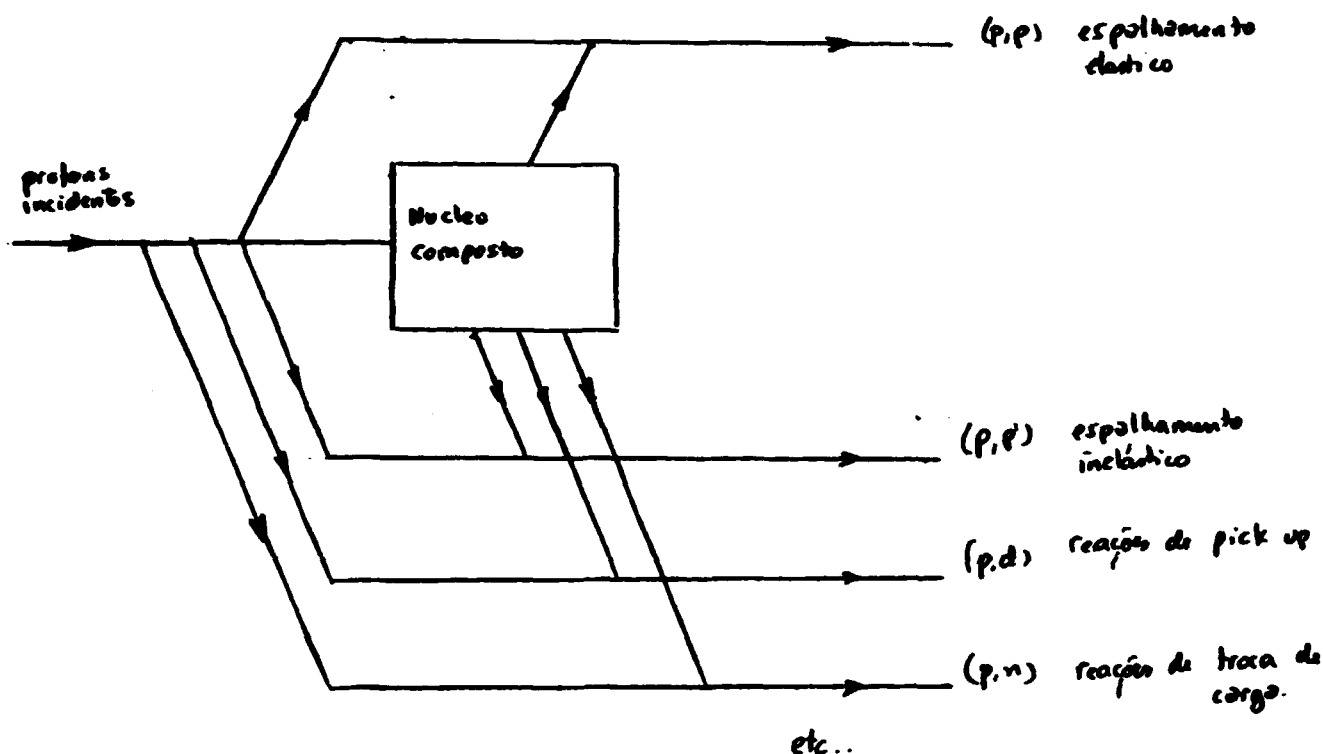


Fig. 14 - Processos diretos e compostos nas reações nucleares.

Esta Figura pode ser considerada como o efeito combinado dos processos esquematizados nas Figuras 11 e 12. Em outras palavras ela diz que todos os canais abertos de uma reação podem ser atingidos via formação de núcleo composto ou diretamente.

A Fig. 15 mostra o efeito que isto pode acarretar, por exemplo, numa seção de choque diferencial elástica. O efeito da formação do núcleo composto tem portanto de ser levado em conta no cálculo das seções de choque elástica.

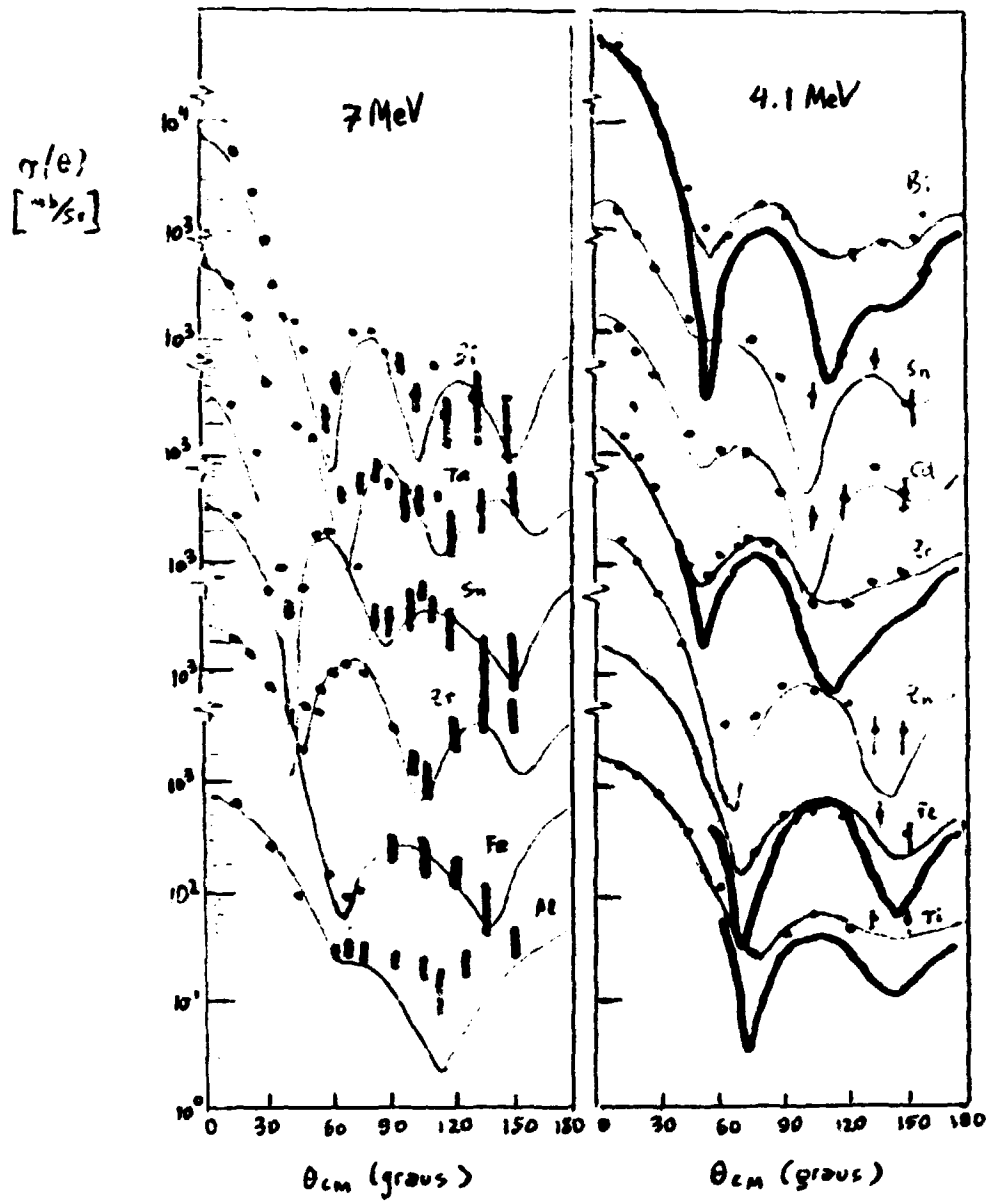


Fig. 15 - Comparação das predições do modelo ótico não local, independente de energia, com os resultados experimentais para as seções de choque diferenciais elásticas para nêutrons com energias 4.1 MeV e 7 MeV. Dados tomados da Ref. /7,21/. Algumas das curvas de espalhamento elástico de potencial (em verde, na figura) foram corrigidas com as contribuições elásticas compostas (na figura, em azul).

## VI - MODELO ÓTICO E RESULTADOS OBTIDOS COM O MODELO ÓTICO

### a - Modelo Ótico

Consideramos agora o cálculo das seções de choque usando um potencial complexo.

$$\begin{cases} V = -V_0(1 + i\xi) & r \leq R \\ V = 0 & r > R \end{cases} \quad (65)$$

Para  $\xi = 0$  o potencial é real e descreve o espalhamento potencial puro. Para  $\xi \neq 0$  a possibilidade de absorção passa a existir, e com ela a formação do núcleo composto. Em geral  $\xi$  dependerá da energia.

### b - Resultados obtidos com o Modelo Ótico

As Figuras 16 e 17 mostram as seções de choque totais para nêutron, em função da energia e do número de massa do núcleo alvo.

Esses cálculos foram feitos usando-se o seguinte potencial:

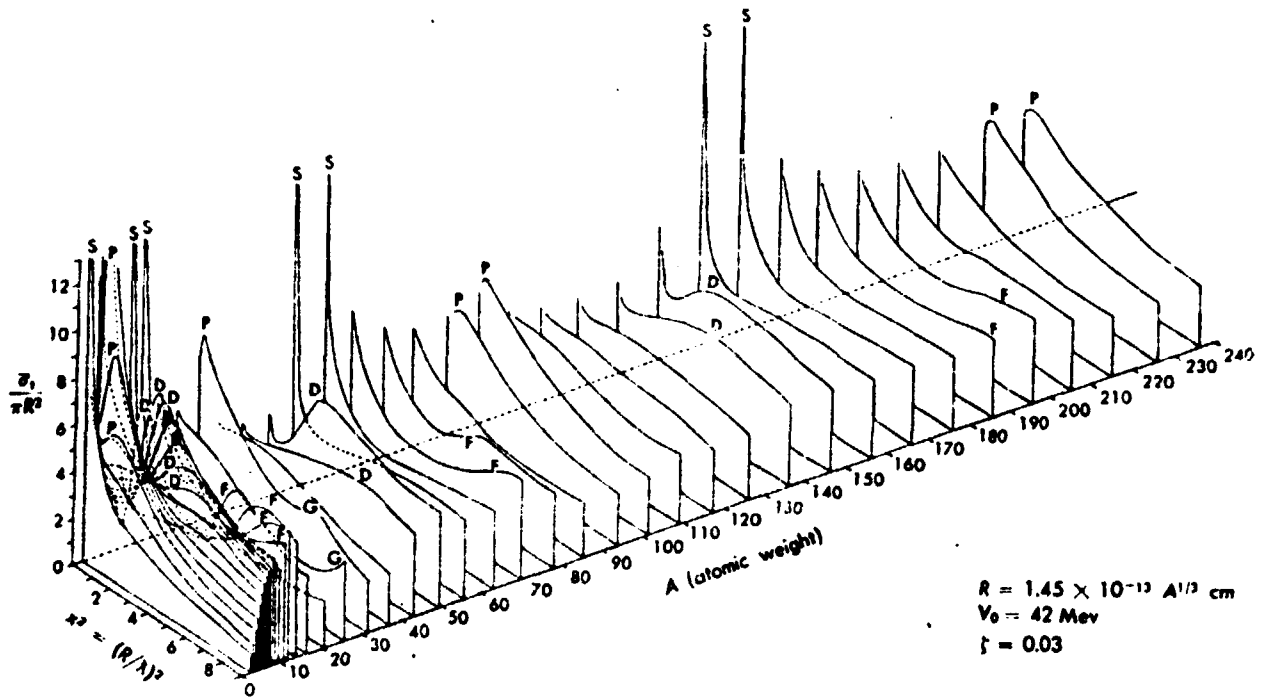
$$\begin{aligned} V &= V_0 + iV_1 \\ V_0 &= -U \quad r < R \\ &= 0 \quad r > R \\ V_1 &= \xi V_0 \end{aligned}$$

Na Figura 16 usou-se o valor  $\xi = 0,03$ , ao passo que na Figura 17 a parte imaginária do potencial foi aumentada para  $\xi = 0,05$  /8/.

É interessante compararmos esse resultado com os dados experimentais, mostrados na Figura 6.

Os detalhes desses cálculos são bastante complexos, e serão descritos em outro relatório. Para uma discussão desse tipo de cálculo, bem como refinamentos introduzidos no potencial acima, veja as Referências /R2, R3, R4, R5/.

Para finalizar essa breve discussão de resultados que podem ser obtidos com o modelo ótico, consideremos a Figura 18. Esta mostra os resultados de um outro cálculo /9/ que ilustram bem os problemas que devem ser levados em conta, no tratamento do espalhamento de nêutrons em núcleos alvos pesados.

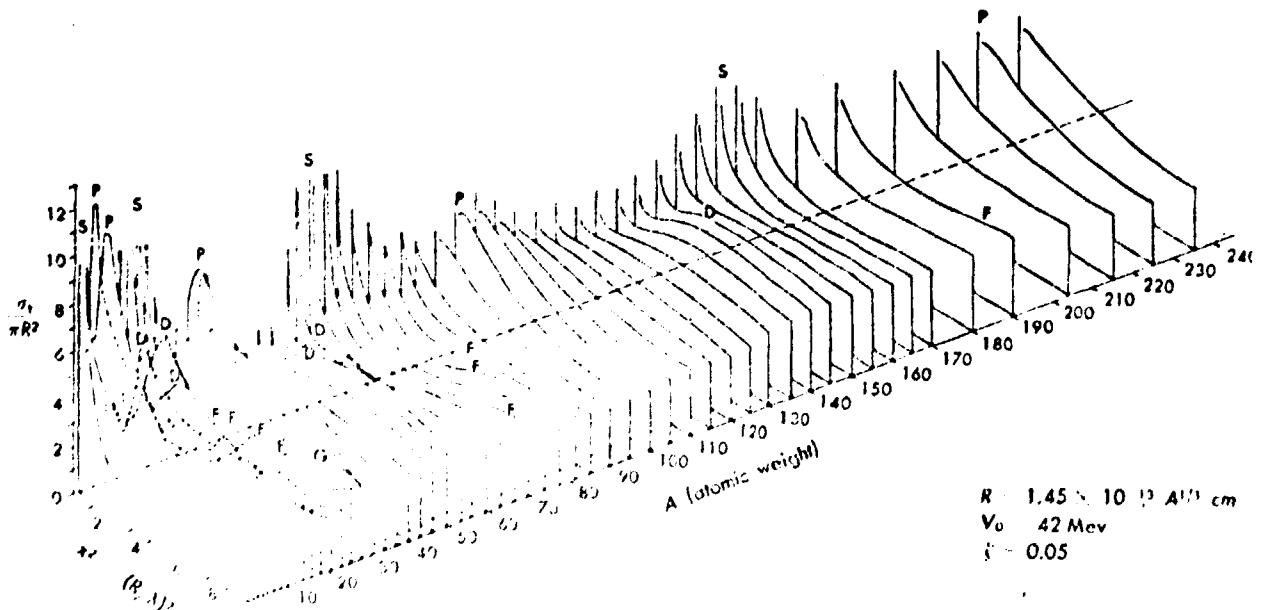


(a)

Fig. 16 - Seção de choque total para nêutrons em função da energia e do número de massa para um poço de potencial

$$V = V_0 + V_1 ; V_1 = \xi V_0 \quad \text{para } V_0 = 42 \text{ MeV}$$

$$V_0 = \begin{cases} -U & r \leq R \\ 0 & r > R \end{cases} \quad \begin{matrix} R = 1.45 \times 10^{-13} A^{1/3} \text{ cm} \\ \xi = 0.03 \end{matrix}$$



(b)

Fig. 17 - Seção de choque total para nêutrons em função da energia e do número de massa para um poço de potencial

$$V = V_0 + V_1 ; V_1 = \xi V_0 \quad \text{para } V_0 = 42 \text{ MeV}$$

$$V_0 = \begin{cases} -U & r \leq R \\ 0 & r > R \end{cases} \quad \begin{matrix} R = 1.45 \times 10^{-13} A^{1/3} \text{ cm} \\ \xi = 0.05 \end{matrix}$$

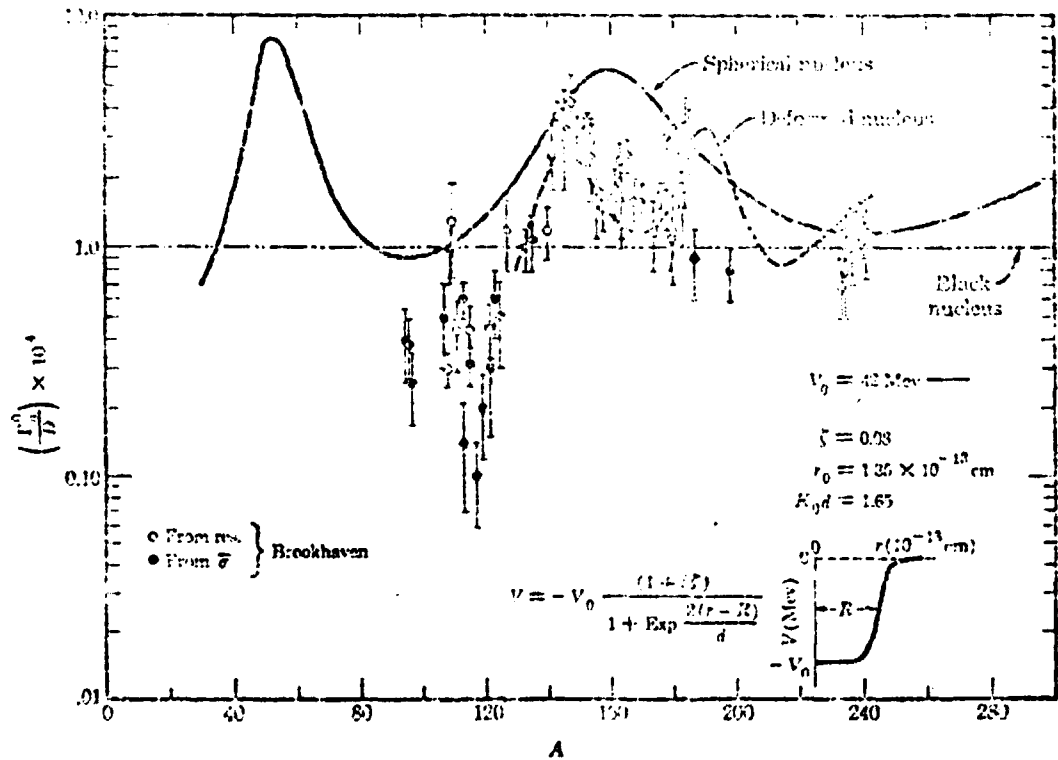


Fig. 18

Na Figura está plotado  $\frac{\Gamma_n^0}{D} \times 10^4$  contra o número de massa para núcleos pesados /9/. A seção de choque para formação do núcleo composto é:

$$\sigma = \frac{2\pi^2}{k^2} \left\langle \frac{\Gamma_\alpha}{D} \right\rangle \quad (66)$$

$$\frac{\Gamma_\alpha}{D} = \frac{1}{\pi} \frac{\Gamma_n^{(0)} \left( \frac{1}{2} \Gamma_n^{(0)} + W \right)}{(E - \epsilon_n)^2 + \left( \frac{1}{2} \Gamma_n^{(0)} + W \right)^2} \quad (67)$$

Podemos concluir que os cálculos usando esse modelo ótico deformado dão resultados muito melhores para as seções de choque de formação de núcleo composto.

## VII - DESCRIÇÃO SEMICLÁSSICA DA SEÇÃO DE CHOQUE PARA NÊUTRONS RÁPIDOS

Os cálculos das seções de choque de espalhamento de nêutrons podem ser feitos usando-se o modelo ótico. Esses cálculos podem ser feitos para núcleos esféricos /10/, existindo vários programas de computador para tal /11/, bem como para núcleos deformados /12/, para os quais vários métodos de abordagem e respectivos programas já foram desenvolvidos /13/.

Entretanto, além de serem bastante complexos sob o ponto de vista matemático, esses cálculos são feitos com computadores, usando-se programas bastante lentos. Para objetivos de engenharia torna-se mistér uma parametrização das seções de choque, que torne seu cálculo mais simples e rápido.

Numa série de artigos Angeli, Csikai e Nagy, /2,3,4/, fizeram uma previsão semiclássica da seção de choque para nêutrons com energia de 14 MeV, incidindo sob núcleos com diferentes números de massa A.

Eles obtiveram uma expressão empírica para a seção de choque total, à energia de 14 MeV, em função do número de massa A, que reproduzia os resultados experimentais, /10/, de uma maneira relativamente boa, especialmente para os núcleos pesados. Os dados experimentais mostram que a seção de choque total varia com o número de massa A da forma cossenoidal, isto é, dependendo de  $\cos A^{1/3}$ , principalmente para os núcleos em que  $A > 10$ . Vide Figura 19.

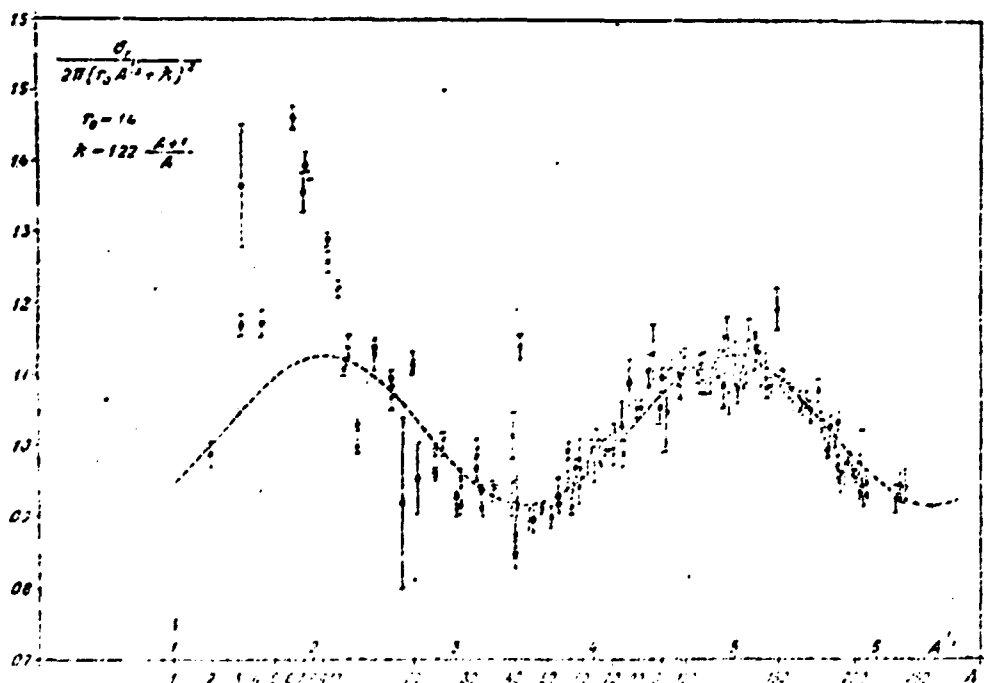


Fig. 19

A expressão empírica da seção de choque total, obtida pelos autores citados, e que fornece resultados compatíveis com os dados experimentais é da forma:

$$\sigma_T = \sigma_{BN} \left[ 1.02 - 0.104 \cos (2.18 A^{1/3} - 1.25) \right] \quad (68)$$

para a energia de 14 MeV. Na Figura 19 a expressão (68) é plotada em linha pontilhada.

Na verdade, em face dos resultados teóricos da teoria geral do espalhamento, expressos pelas equações (48-51), observamos que a seção de choque, em geral, depende de  $\cos \delta$ , onde  $\delta$  é a parte real da mudança de fase da onda espalhada em relação a onda incidente, devido a presença do núcleo (ou do potencial). Seria interessante poder elaborar um modelo teórico e através dele mostrar que esta diferença de fase varia de núcleo para núcleo e que depende do núcleo considerado através da expressão  $A^{1/3}$ , onde  $A$  é o número de massa.

Os autores mencionados assim procederam e mostraram que é possível elaborar um modelo teórico para o núcleo, tal que seja permitido obter a mudança de fase  $\Delta\ell$  da equação (44) e com isto obter não só  $\delta\ell$  como  $\beta\ell$ , e portanto determinar também  $\rho\ell$ . Com isto, uma justificativa teórica, através deste modelo, foi obtida para a expressão empírica (68) da seção de choque.

A interpretação física da expressão empírica (68) pode ser obtida através do efeito de Ramsauer, modelo este discutido por Peterson, /14/.

Consideremos o núcleo de número de massa  $A$  como um poço de potencial esférico de raio  $R$ . Seja  $k_0$  o número de onda do feixe de nêutrons incidente e  $k_1$  o número de onda do feixe dentro do poço de potencial, conforme Figura 20.

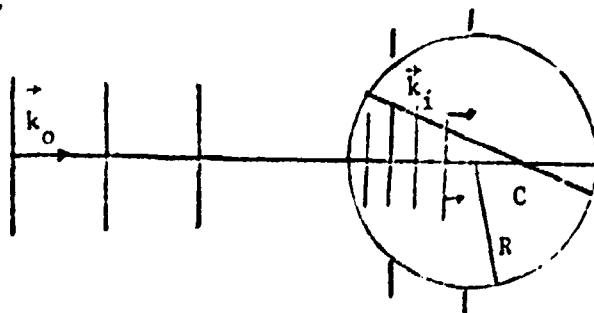


Fig. 20

A diferença de fase entre uma onda que atravessa o núcleo, seguindo a corda C da esfera, e outra onda que percorre a mesma distância mas sem a presença do núcleo seria

$$\delta' = k_i C - k_o C = k_o C \left( \frac{k_i}{k_o} - 1 \right) \quad (69)$$

Sendo a esfera igualmente "iluminada" pelo feixe incidente, podemos afirmar que a diferença média de fase entre as ondas que atravessam o núcleo e as que o contornam é dada por

$$\delta = \delta' = (k_i - k_o) \bar{C} = k_o \bar{C} \left( \frac{k_i}{k_o} - 1 \right) \quad (70)$$

onde  $\bar{C}$  é o valor médio da corda através de uma esfera. Para determinar  $\bar{C}$ , considere um raio incidindo em O na direção marcada na Fig. 21, à distância  $s$  do eixo. Seja  $\overline{OC}$  a

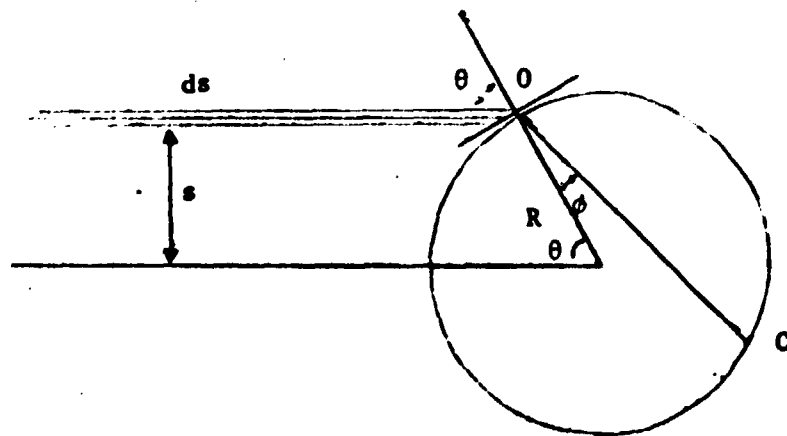


Fig. 21

corda correspondente e seja  $n$  o índice de refração do meio representado pelo núcleo. É fácil ver que  $\overline{OC} = 2R \cos \phi$  e que  $s = R \sin \theta$ . Mas sendo  $n \sin \phi = \sin \theta$ , obtemos que  $s = Rn \sin \phi$ . Então

$$\overline{OC} = 2R (1 - \sin^2 \phi) = \frac{2}{n} (n^2 R^2 - s^2) \quad (71)$$

Portanto, há uma relação entre a distância  $s$  e o comprimento da corda, para um dado núcleo, e podemos dizer que todo raio incidente dentro do anel  $2\pi s ds$  corresponde a uma corda de comprimento  $\overline{OC}$  dada pela

equação (71). Nestas condições, o valor médio da corda  $\bar{C}$ , será

$$\bar{C} = \frac{1}{\text{área}} \int_{\text{todos valores possíveis de } s} \overline{OC} \, 2\pi s ds \quad (72)$$

Sendo a área varrida por  $s$  igual a  $\pi R^2$ , e utilizando a equação (71), obtemos

$$\bar{C} = \frac{1}{\pi R^2} \int_0^R 2\pi \frac{2}{n} (n^2 R^2 - s^2)^{1/2} s ds = \frac{4R}{3} n^2 \left[ 1 - \left(1 - \frac{1}{n^2}\right)^{3/2} \right] \quad (73)$$

Com isto, a diferença de fase média entre o feixe que sente o núcleo e o feixe que não o sente é

$$\delta = \frac{4}{3} n^2 (n-1) \left[ 1 - \left(1 - \frac{1}{n^2}\right)^{3/2} \right] R k_0 \quad (74)$$

onde, lembramos que

$$\frac{k_1}{k_0} = n = \sqrt{\frac{E + V_0}{E}} = \sqrt{1 + \frac{V_0}{E}} \quad (75)$$

Escrevendo  $R = r_0 A^{1/3}$ , obtemos

$$\delta = q A^{1/3} \quad (76)$$

onde

$$q = \frac{4r_0}{3} n^2 (n-1) \left[ 1 - \left(1 - \frac{1}{n^2}\right)^{3/2} \right] k_0 \quad (77)$$

O modelo apresentado, sintetizado pela expressão (76), apesar de dependência desejada com o número de massa,  $A^{1/3}$ , ainda deixa a desejar quanto à defasagem que se verifica na expressão (68), sendo lá, de 1,25. A existência desta defasagem poderá ser explicada, introduzindo uma pequena modificação no modelo considerado, modificação esta que consiste em considerar o núcleo como um poço de potencial esférico, com uma película superficial, de espessura  $t$  onde o índice de refração médio é  $\bar{n}$ , diferente de  $n$ , sendo  $\bar{n}$  o índice de refração na região  $R-t$  restante. No fundo, isto equivale a considerar um modelo de potencial não quadrado, mas na forma trapezoidal, conforme Figura 22.

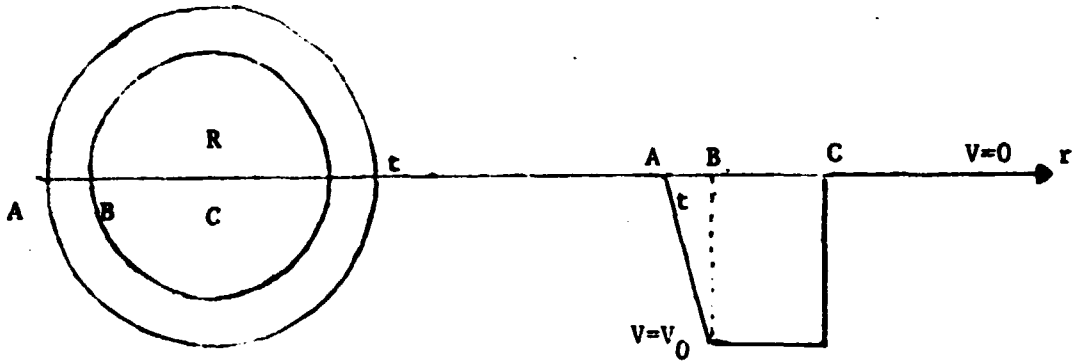


Fig. 22

Seja  $\bar{n}$  o índice de refração médio na capa de espessura  $t$  e seja  $n$  o índice de refração no volume restante. Com isto, a expressão (20), para a diferença de fase entre as ondas que sentem o potencial e aquelas que o contornam, sofre algumas modificações. O comprimento médio da corda agora associado ao índice de refração  $n$  é  $\bar{C} - 2t$ , enquanto que a distância  $2t$  é percorrida pela onda num índice de refração  $\bar{n}$  e produz uma diferença de fase  $(\bar{n} - 1)k_0 2t$ . Portanto, a defasagem modificada será

$$\delta^* = k_0 (n - 1)(\bar{C} - 2t) + k_0 (\bar{n} - 1)2t$$

$$\delta^* = \delta + k_0 2t (\bar{n} - n) = q A^{1/3} - r \quad (78)$$

onde  $q$  é o mesmo de (77) e o parâmetro  $r$  é definido por

$$r = 2t(n - \bar{n}) k_0 \quad (79)$$

Em resumo, podemos dizer que através do formalismo da teoria do espalhamento da Mecânica Quântica, obtemos para a seção de choque elástica integral a expressão (49), isto é:

$$\sigma_{\text{esp}} = \frac{1}{2} \sigma_{\text{BN}} (1 + \rho^2 - 2\rho \cos \delta)$$

e usando , assim como obtido em (78),  $\delta^*$ , vem

$$\sigma_{\text{esp}} = \frac{1}{2} \sigma_{\text{BN}} \left[ 1 + \rho^2 - 2\rho \cos(q A^{1/3} - r) \right] \quad (80)$$

Pela análise da Fig.19, e tendo em conta que

$$q(A_2 - A_1) = 2\pi \quad (81)$$

onde  $A_2$  e  $A_1$  são os valores de  $A^{1/3}$  que dão  $\sigma_T$  máximo, e que pelo gráfico experimental  $A_2 - A_1 \approx 2.88$ , vem que  $q = \frac{2\pi}{2.88} \approx 2.18$  quando a energia é 14 MeV.

Com este valor empírico do parâmetro  $q$  pode-se fazer uma avaliação do índice de refração  $n$  e portanto da profundidade do potencial  $V_0$  da Figura 22 para a energia de 14 MeV. Para tal, vamos fixar  $r_0 = 1.4$  fm. Em seguida, devemos calcular o número de onda  $k_0$  em termos da energia incidente dos nêutrons.

Considere um nêutron de energia  $E$ , incidindo num núcleo de número de massa  $A$  em repouso. Queremos a energia  $E_0$  do sistema no C.M. Pode-se mostrar que  $E_0 = \frac{A}{1+A} E$  onde  $E$  é a energia no LAB. Então

$$\frac{\hbar^2}{2m} k_0^2 = \frac{A}{1+A} E \quad \text{ou} \quad k_0^2 = \frac{2mE}{\hbar^2} \left( \frac{A}{1+A} \right) = \frac{1}{\lambda^2} \quad (82)$$

Dai segue que:

$$\frac{1}{k_0} = \sqrt{\frac{1+A}{A}} \frac{\hbar}{\sqrt{2mE}} = 1,22 \left( \frac{1+A}{A} \right)^{1/2} \text{ fm} \quad (83)$$

Substituindo esta valor em (77) obtemos o índice de refração  $n \approx 2,015$  para a energia incidente de 14 MeV. De (75) obtemos a profundidade de  $V_0$  do poço de potencial, que nos dá  $V_0 = (n^2 - 1)E \approx 42,8$  MeV.

Da Figura 19 obtemos o valor da amplitude de oscilação  $p \approx 0,1$ . Do mesmo gráfico e considerando o valor de (79) para  $A^{1/3} = 0$ , obtemos o valor empírico de  $r$ . Este valor é da ordem de  $r \approx 1,25$ .

O valor do parâmetro  $r$  nos permite calcular o parâmetro  $t$ , a largura da capa esférica da Fig.22, se conhecermos o índice de refração  $n$  nesta região. Para tal, imaginamos que o potencial cai linearmente do valor  $V = 0$  a  $V = V_0$  quando  $r = r_A$  até  $r = r_B$  na Fig.22 ( $r_B - r_A = t$ ). Portanto na região  $r_A < r < r_B$  temos que  $V = V(r) = \alpha + \beta r$  onde  $\alpha$  e  $\beta$  são constantes. Mas para  $r = r_A$ ,  $V(r_A) = 0$ . Logo  $\alpha = -\beta r_A$ . Para  $r = r_B$ ,  $V(r_B) = V_0$  então  $\alpha = V_0 - \beta r_B$ . Com isto, igualando as expressões de  $\alpha$ , obtemos que  $\beta = \frac{V_0}{t}$ .

Então

$$V(r) = -\frac{V_0}{t} r_A + \frac{V_0}{t} r \quad (84)$$

e o primeiro termo da expressão acima pode ser tomado como sendo nulo, isto é,  $r_A = 0$ . Da expressão (75) vem que

$$n(r) = \sqrt{1 + \frac{V(r)}{E}} = \sqrt{1 + \frac{V_0}{tE} r} \quad (85)$$

Para calcular o índice de refração médio na região  $t$  basta considerar

$$\begin{aligned} \bar{n} &= \frac{1}{t} \int_0^t n(r) dr = \frac{1}{t} \int_0^t \sqrt{1 + \frac{V_0}{Et} r} dr = \frac{2}{3} \left[ \frac{Et}{V_0} \left(1 + \frac{V_0}{E}\right)^{3/2} - 1 \right] \\ &= \frac{2}{3} \left( \frac{n^3 - 1}{n^2 - 1} \right) \end{aligned} \quad (86)$$

onde usamos na última passagem a expressão (75).

Portanto  $\bar{n}$  é determinado à partir de  $n$  e para o valor  $n \approx 2,015$ , obtemos  $\bar{n}$  e daí o valor de  $t$  através de (79). Para a energia de 14 MeV esse valor é  $t \approx 1.7$  fm.

VIII- APLICAÇÃO DO MODELO SEMICLÁSSICO PARA OUTROS NÚCLEOS E OUTRAS ENERGIAS

Pelo que se viu nas páginas anteriores, a seção de choque elástica diferencial, a integral, a seção de choque total, e a seção de choque não elástica, podem ser determinadas por expressões relativamente simples, dependendo do número de massa A na forma  $\cos(qA^{1/3})$ , expressões estas que dão resultados relativamente bons para núcleos pesados e energia incidente da ordem de 14 MeV.

Atendo-se, inicialmente, ao caso da seção de choque elástica diferencial, e tendo em conta o modelo de Feterson /14/, é fácil ver que a equação (30') pode ser escrita na forma

$$\sigma_{Esp}(\theta) = \frac{1}{4k_0^2} \left[ a + p^2 - 2p \cos(qA^{1/3} - r) \right] \left| \sum_{l=0}^{l_{Max}} (2l+1) P_l(\cos\theta) \right|^2 \quad (87)$$

onde os parâmetros a, p, q e r dependem da energia e possuem os valores dados em (66) para E = 14 MeV.

Angeli e Csikai de posse de dados experimentais da seção de choque total para as diversas energias incidentes (E = 1,4,8.6,17.8,28.4 e 42 MeV) ajustaram os parâmetros da expressão (87) para que esta expressão teórica reproduzisse os dados experimentais. Com isto eles obtiveram, de uma forma empírica, a variação dos parâmetros a, p, q e r com a energia incidente. O resultado obtido por eles aparece na Figura 23a, b e c.

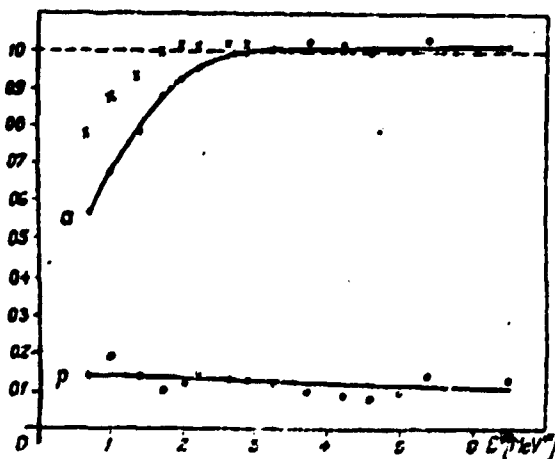


Figura 23a

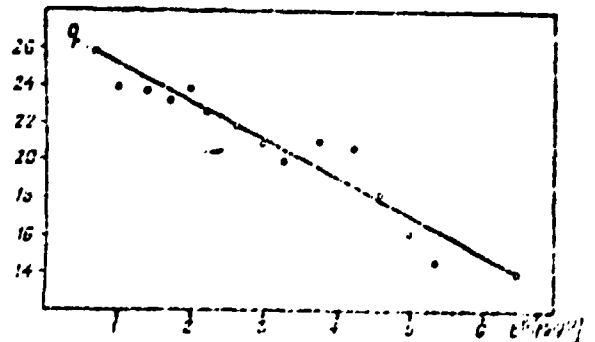


Figura 23b

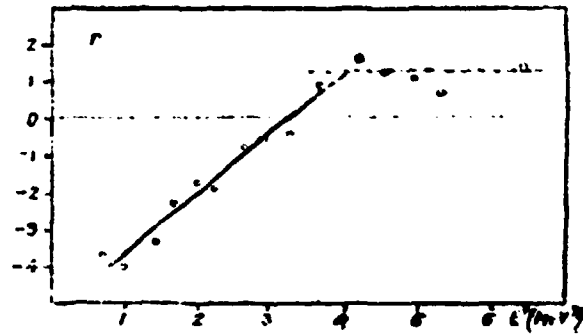


Figura 23c

Com isto, em princípio, se tem uma maneira de calcular as várias seções de choque para os vários núcleos a diversas energias, numa forma extremamente simples.

Um programa de computação foi elaborado para calcular a expressão (87) para alguns núcleos ( $A = 1, 2, 3, 4, 5, 6, 7, 8, 9, 10, 20, 30, 40, 233, 235, 238, 239$ ) e para energias indo de  $E = 1$  até  $E = 45$  MeV e para o ângulo  $\theta$  desde  $0$  até  $180^\circ$ .

Inicialmente, estabeleceu-se expressões algébricas para a variação dos parâmetros  $a$ ,  $p$ ,  $q$  e  $r$  em termos da energia  $E^{1/2}$ , ( $x = E^{1/2}$ ), conforme se segue:

$$\begin{aligned}
 a(x) &= .24x + .44 && \text{para } 0 < x < 2 \\
 a(x) &= .08x + .76 && \text{para } 2 < x < 3 \\
 a(x) &= 1 && \text{para } x > 3 \\
 p(x) &= .1 && \text{para todo } x \\
 q(x) &= -.2x + \frac{10.8}{4} && \text{para todo } x \\
 r(x) &= \frac{4.75}{3}x - \frac{15.25}{3} && \text{para } 0 < x < 4 \\
 r(x) &= 1.25 && \text{para } x > 4
 \end{aligned} \tag{88}$$

Em seguida, calculou-se o valor de  $l_{Max}$  que aparece na equação (87). Este  $l_{Max}$  é o mesmo que aparece em (42) ou (43) e depende, pois, da energia do nêutron incidente, na forma

$$l_{Max} \approx k_0 r_0 = \frac{\sqrt{2mE}}{h} \sqrt{\frac{A}{1+A}} r_0 \tag{89}$$

O parâmetro característico do raio nuclear  $r_0$  foi considerado por Angeli e Csikai como dependentes do número de massa  $A$  na forma empírica

$$r_0 = 1.21 + 4.0 A^{-2/3} - 15 A^{-4/3} \quad (90)$$

Alguns valores típicos de  $r_0$  para certos núcleos pesados estão na Tabela I.

Tabela I

A	232	233	235	238	239
$r_0$ (em fm)	1.305	1.305	1.304	1.303	1.303

Os valores de  $l_{Max}$  para as várias energias com o valor obtido para  $r_0$  acima são apresentados na Tabela II para o caso de  $A=235$ .

Tabela II

E (MeV)	5	10	15	20	25	30	35	40	45
$l_{Max}$	3.944	5.577	6.831	7.888	8.819	9.660	10.434	11.155	11.832

Como os valores de  $l_{Max}$  não são números inteiros, usou-se o seguinte esquema para interpolar os valores dos polinômios de Legendre quando  $l_{Max}$  contém uma parte fracionária. Considerando  $L$  como o maior inteiro contido em  $l_{Max}$  e  $f$  a sua parte fracionária, então a soma na expressão (87) fica

$$\sum_{l=0}^{l_{Max}} (2l+1)P_l(\cos \theta) = \sum_{l=0}^L (2l+1)P_l(\cos \theta) + \left[ (2L+1)+f \right] fP_{L+1}(\cos \theta) \quad (91)$$

onde o polinômio de ordem  $L+1$  entra no cômputo geral não com um peso  $(2L+1)$ , mas com um coeficiente que depende da parte fracionária  $f$  e dado pela expressão acima.

Com isto os resultados para seção de choque elástica, para energia indo de 5 até 30 MeV e para  $A = 235$  e  $A = 232$  foi obtida numericamente para  $\theta$  variando de 0 até 180° e em seguida plotada nas Figuras 24a até 24f e 25a até 25f, respectivamente. Os dados experimentais da se

ção de choque elástica para  $A = 235$  neste intervalo de energia, não são fáceis de serem conseguidos na literatura, e portanto não são plotados para efeito de comparação com os resultados teóricos.

Entretanto, Buccino, Hollandsworth e Bevington, /15/, apresentam resultados experimentais para a seção de choque elástica diferencial do Tório e do Urânio natural, para energia incidente de 5 MeV. Na Tabela III, os resultados experimentais e os resultados teóricos oriundos do modelo quase clássico, são apresentados para a seção de choque elástica diferencial destes materiais em unidades  $mb/sr$ .

Tabela III

Ângulo em°	20°	30°	40°	50°	60°	70°	80°	90°	100°	110°	120°	130°	140°
Th-232 (EXP.)	3390	1550	333	59	117	138	190	139	54	46	49	75	92
Th-232 (Teórico)	2735	845	56.5	45	129	63.5	0.77	26	45.9	14.7	2.1	31.5	34.9
U-238 (EXP.)	1950	972	254	69	130	149	162	97	50	56	62	80	90
U-238 (Teórico)	2798	851	54.5	50.7	136	64	0.41	30	49.6	14.7	2.98	26.3	38.7

A discrepância é acentuada para alguns valores do ângulo e isto acontece com o modelo para os núcleos pesados. Para núcleos intermediários o modelo apresenta resultados satisfatórios, conforme se pode observar nos resultados obtidos por Angeli e Csikai. Num aspecto, entretanto, o modelo apresenta bons resultados e isto no que diz respeito à previsão de picos na seção de choque, embora os valores dos picos em si não estejam compatíveis com os resultados experimentais.

A conclusão a que se chega é que este modelo semiclassical é útil para fazer previsões relativamente grosseiras da seção de choque diferencial para nêutrons incidindo em núcleos com número de massa  $A$  indo desde valores intermediários até altos valores. Definitivamente o modelo não serve para os núcleos leves, conforme se vê na Figura 19. Havendo necessidade de um conhecimento mais detalhado e cuidadoso da seção de choque elástica diferencial, então outro modelo deve ser procurado.

Para o cálculo da seção de choque elástica integral, de reação, e seção de choque total, através das equações (49), (50) e (51), utilizamos os mesmos valores dos parâmetros  $a$ ,  $p$ ,  $q$  e  $r$ , assim como dados por equação (88). Neste cálculo foi utilizado o valor de 1.4 fm para o parâmetro característico do raio nuclear  $r_0$ . O programa foi elaborado para energias indo de 1 até 45 MeV para os núcleos de número de massa  $A = 1, 2, 3, 4, 5, 6, 7, 8, 9, 10, 20, 30, 40, 232, 233, 235, 238$  e 239. Na Tabela IV os resultados para  $A=235$  são apresentados. As seções de choque que aparecem na tabela, todas em barns, são as seguintes:

- $\sigma_{Esp}$  é a seção de choque elástica integral, dada por equação (49), onde devemos fazer as identificações de 1 com o parâmetro  $a$ , de  $p$  e de  $\delta$  com a expressão (78), isto é,  $\delta = qA^{1/3} - r$ ;
- $\sigma_R$  é a seção de choque de reação dada por equação (50) com as mesmas identificações dos parâmetros como feitas acima.
- $\sigma_T$  é a seção de choque total, isto é,  $\sigma_{Esp} + \sigma_R$ . O comportamento oscilatório de  $\sigma_T$  é idêntico ao comportamento de  $\sigma_{Esp}$ , visto que  $\sigma_R$  não oscila com  $A^{1/3}$ ;
- $\sigma_F$  é a seção de choque de reação obtida por Flerov e Talizin /16/, ou seja  $\sigma_R = \pi(1.2 A^{1/3} + 2.1)^2$ , e que naturalmente apresenta os mesmos valores para qualquer energia.

ENERGIA (MeV)	$\sigma_{Esp}$	$\sigma_R$	$\sigma_T$	$\sigma_F$
1	2.68	3.66	6.35	2.83
2	3.08	3.40	6.48	2.83
3	3.77	3.37	7.15	2.83
4	4.17	3.41	7.58	2.83
5	4.09	3.32	7.42	2.83
10	2.60	3.16	5.77	2.83
11	2.56	3.11	5.68	2.83
12	2.62	3.08	5.70	2.83
13	2.76	3.05	5.82	2.83
14	2.95	3.02	5.98	2.83
15	3.15	2.99	6.15	2.83
20	3.48	2.90	6.38	2.83
21	3.49	2.88	6.38	2.83
22	3.50	2.87	6.37	2.83
23	3.49	2.86	6.35	2.83
24	3.48	2.84	6.33	2.83
25	3.45	2.83	6.29	2.83
30	3.25	2.79	6.04	2.83
35	2.95	2.75	5.70	2.83
40	2.64	2.72	5.37	2.83
45	2.39	2.70	5.09	2.83

Tabela IV - Seções de choque: elástica integral  $\sigma_{Esp}$ , não elástica  $\sigma_R$ , total  $\sigma_T$  e de Flerov, /16/,  $\sigma_F$  em barns para  $A = 235$ .

Os resultados experimentais encontrados na literatura foram os obtidos por Hudson, Walker e Berko, /17/, que estão na Tabela V, onde a seção de choque elástica integral foi medida para o Torio e Urânio natural, para energias incidentes de 15.2 MeV. Na Tabela V aparece também o resultado teórico de Bjorklund e Fernbach /18/ onde um potencial ótico foi utilizado para a obtenção das seções de choque.

Tabela V

Elemento	$\sigma_{\text{Esp}}$ Experimental	$\sigma_{\text{Esp}}$ Modelo Utilizado
Th	$3.13 \pm 0.25$	3.15
U	$3.21 \pm 0.24$	3.14

Pela tabela, se vê que o modelo semiclássico utilizado realmente apresenta bons resultados para a seção de choque elástica integral.

Quanto a seção de choque total  $\sigma_T$ , no nosso caso a soma da seção de choque elástica integral mais a seção de choque não elástica, o modelo apresenta resultados bastante bons quando comparados com os dados experimentais conforme Tabela VI abaixo. Também colocado na tabela está o valor da seção de choque não elástica para as dadas energias para o caso de  $A = 235$  e  $A = 232$ .

Tabela VI

ELEMENTO	Energia (MeV)	$\sigma_T$ (barns)		$\sigma_R$ (barns)	
		Exp.	Modelo	Exp.	Modelo
A = 235	4.5	-	7.42	$3.34 \pm .40$	3.32
A = 235	5	7.3	7.42	-	3.32
A = 232	5	7.3	7.35	-	3.30
A = 232	10	5.7	5.72	-	3.13
A = 232	15	5.7	6.13	-	2.97
A = 235	15.4	-	6.15	$2.58 \pm .04$	2.99

SECÇÃO DE CHOQUE ELÁSTICA DIF.

A = 235

ENERGIA = 5 MeV

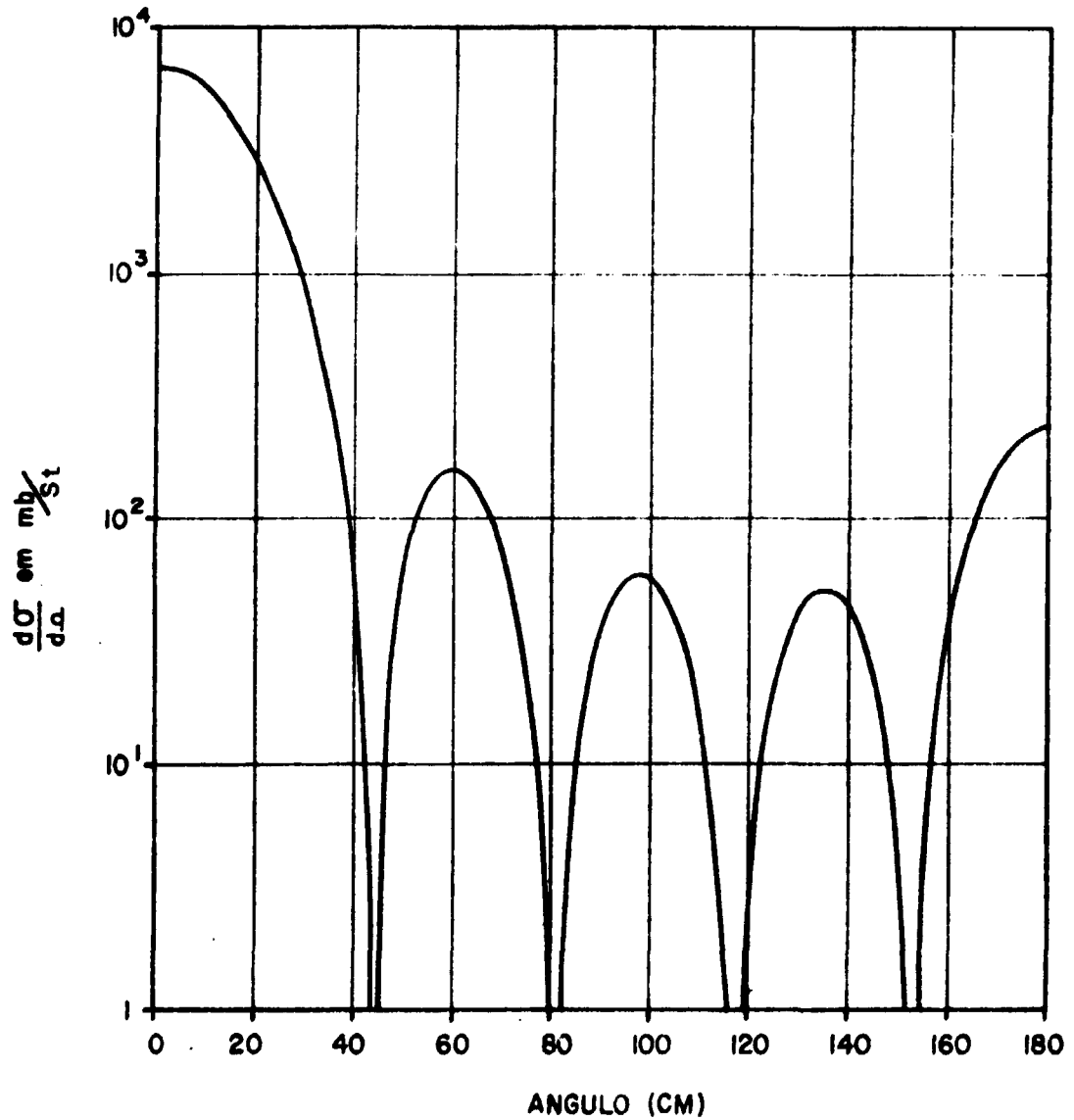


Figura 24a

SECÇÃO DE CHOQUE ELÁSTICA DIF.

A = 235

ENERGIA = 10 MeV

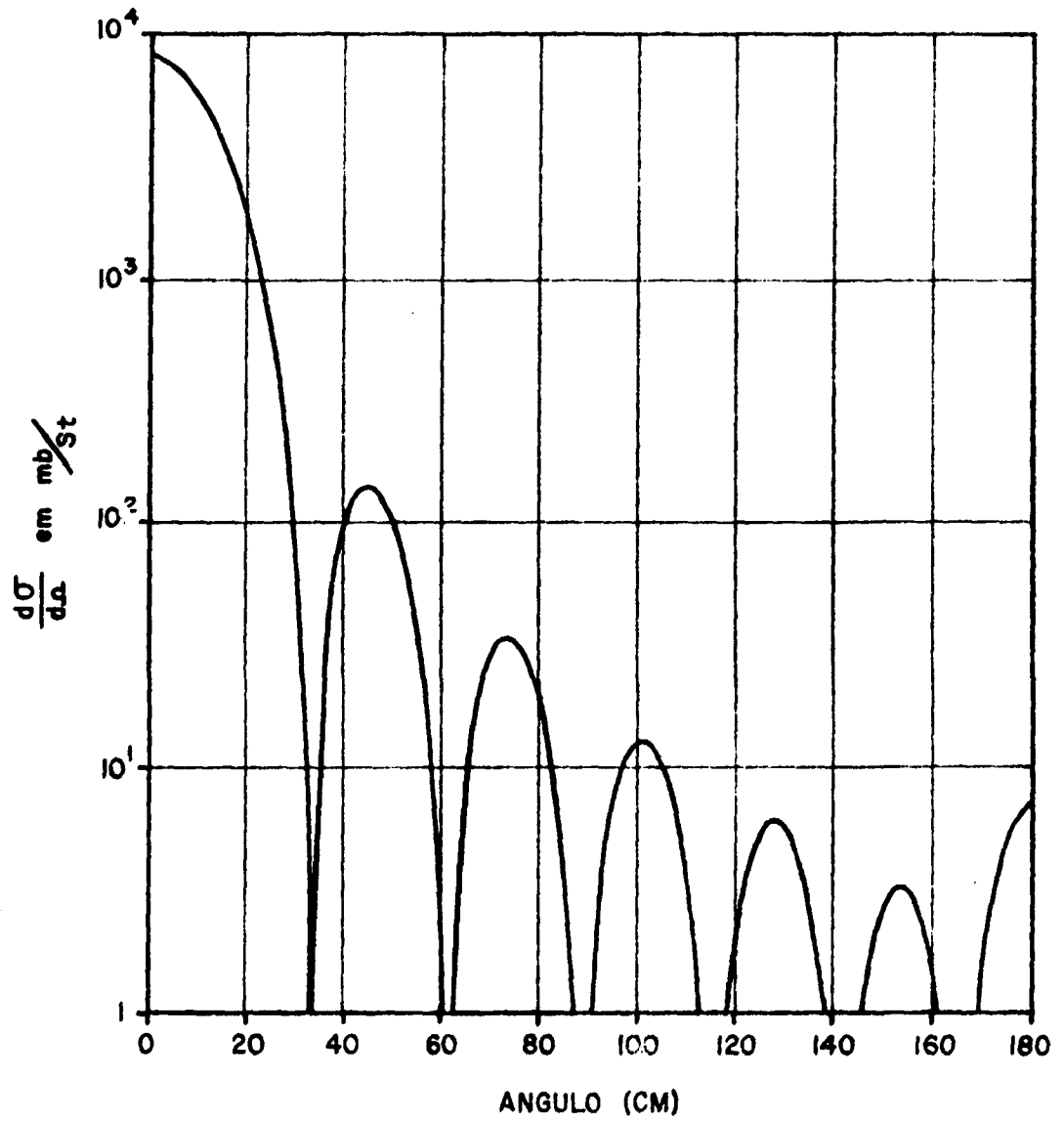


Figura 24b

SECÇÃO DE CHOQUE ELÁSTICA DIF.

A = 235

ENERGIA = 15 MeV

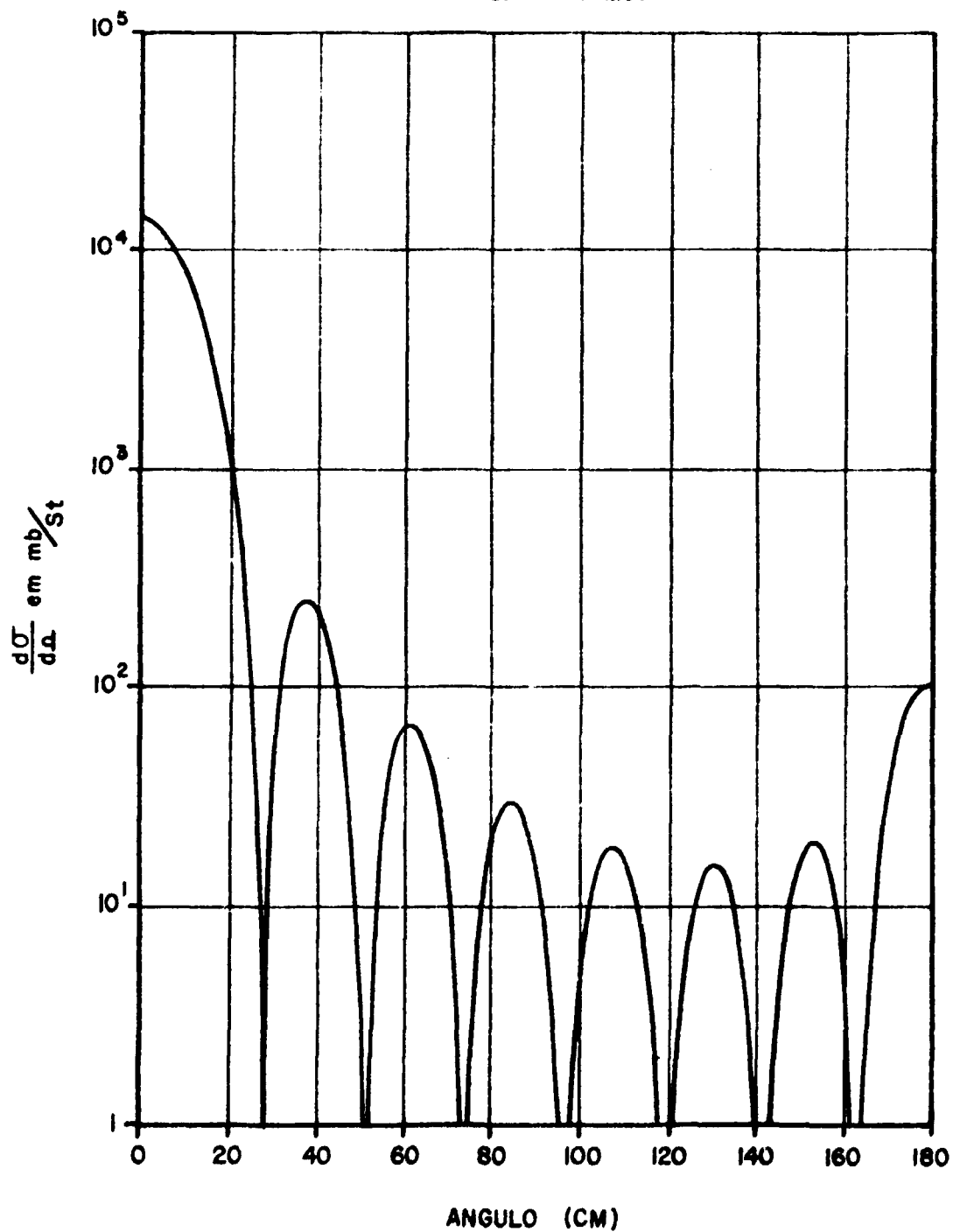


Figura 24c

SECÇÃO DE CHOQUE ELÁSTICA DIF.

A = 235

ENERGIA = 20 MeV

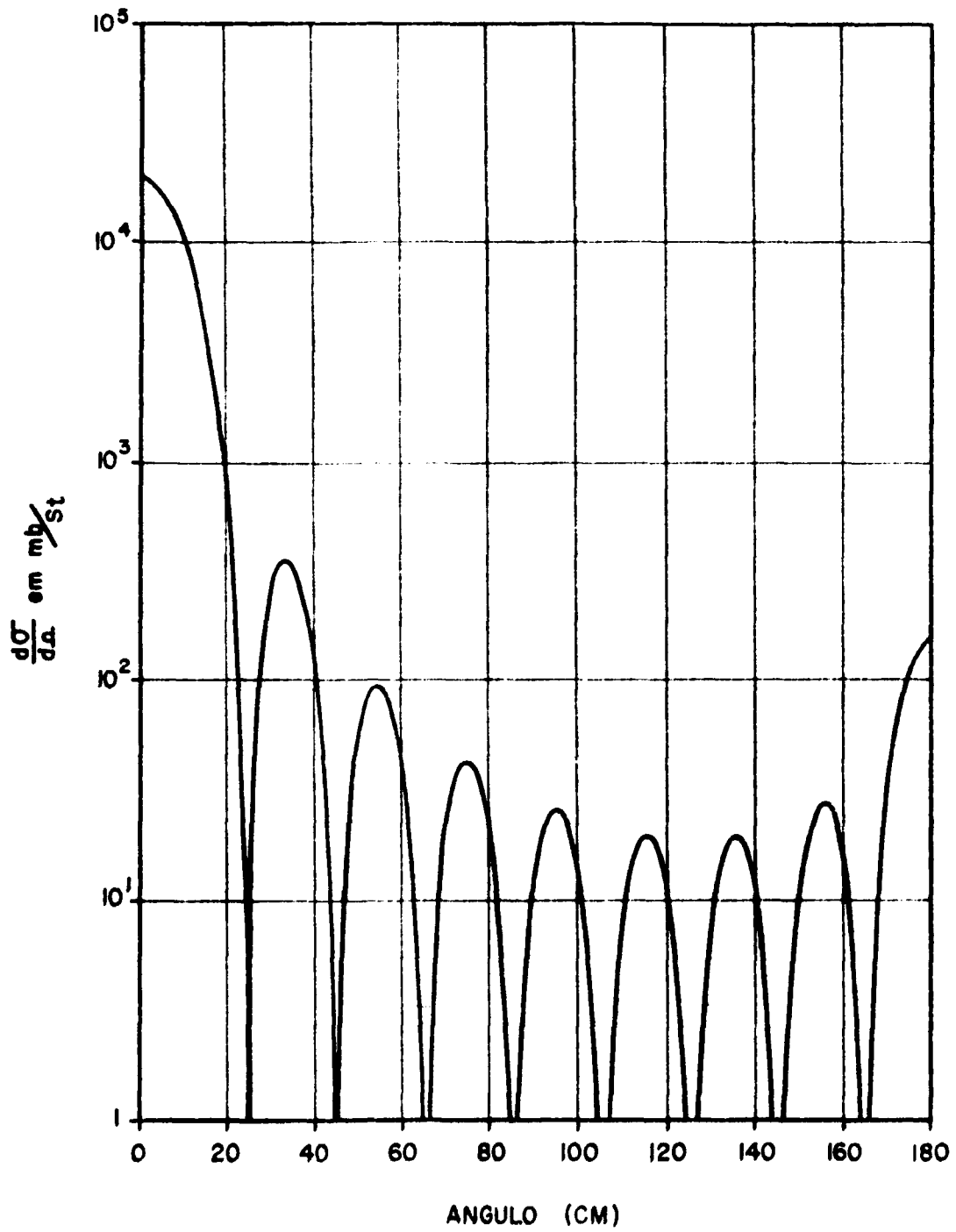


Figure 24d

SECÇÃO DE CHOQUE ELÁSTICA DIF.

A = 235

ENERGIA = 25 MeV

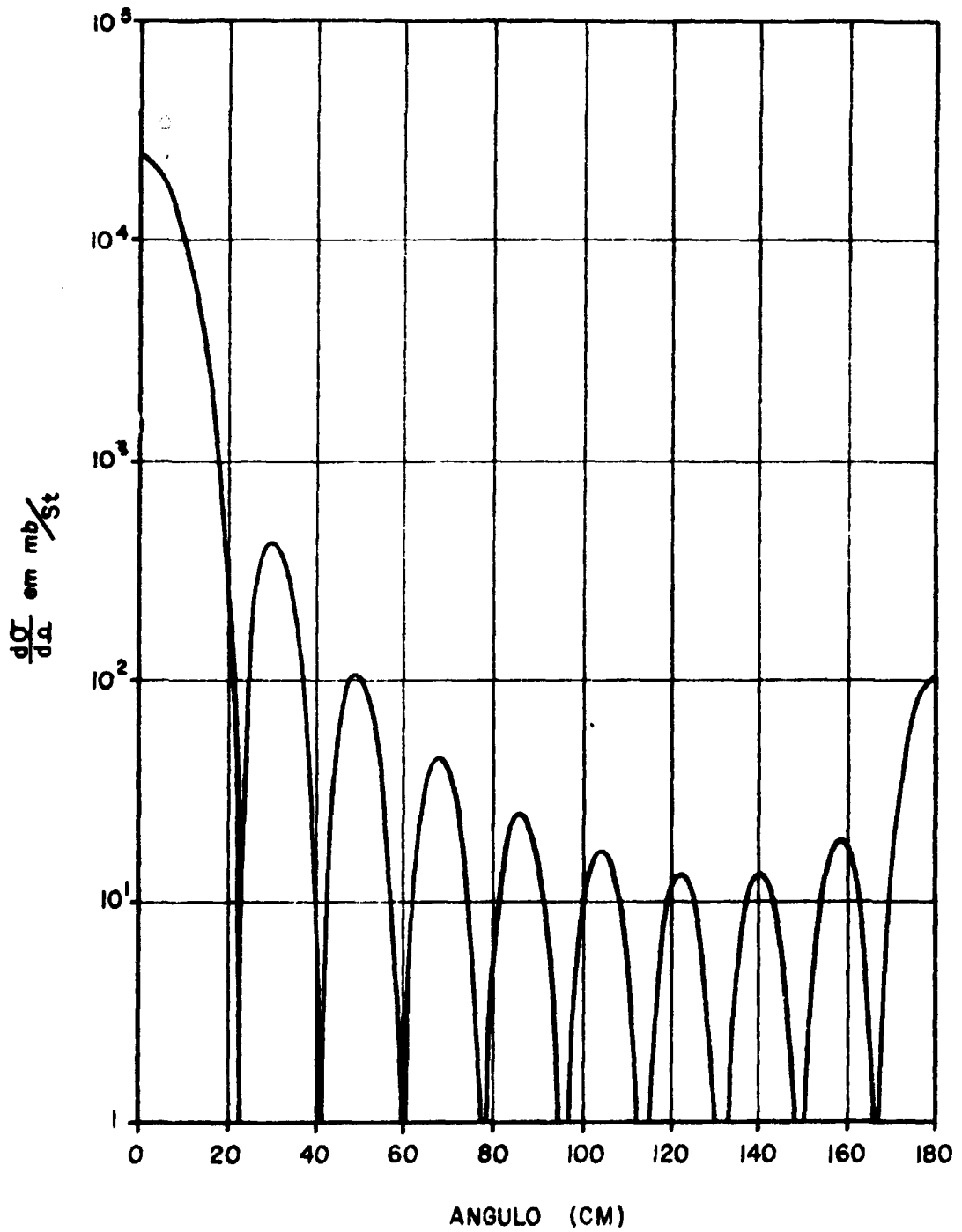


Figura 24e

SECÇÃO DE CHOQUE ELÁSTICA DIF.

A = 235

ENERGIA = 30 MeV

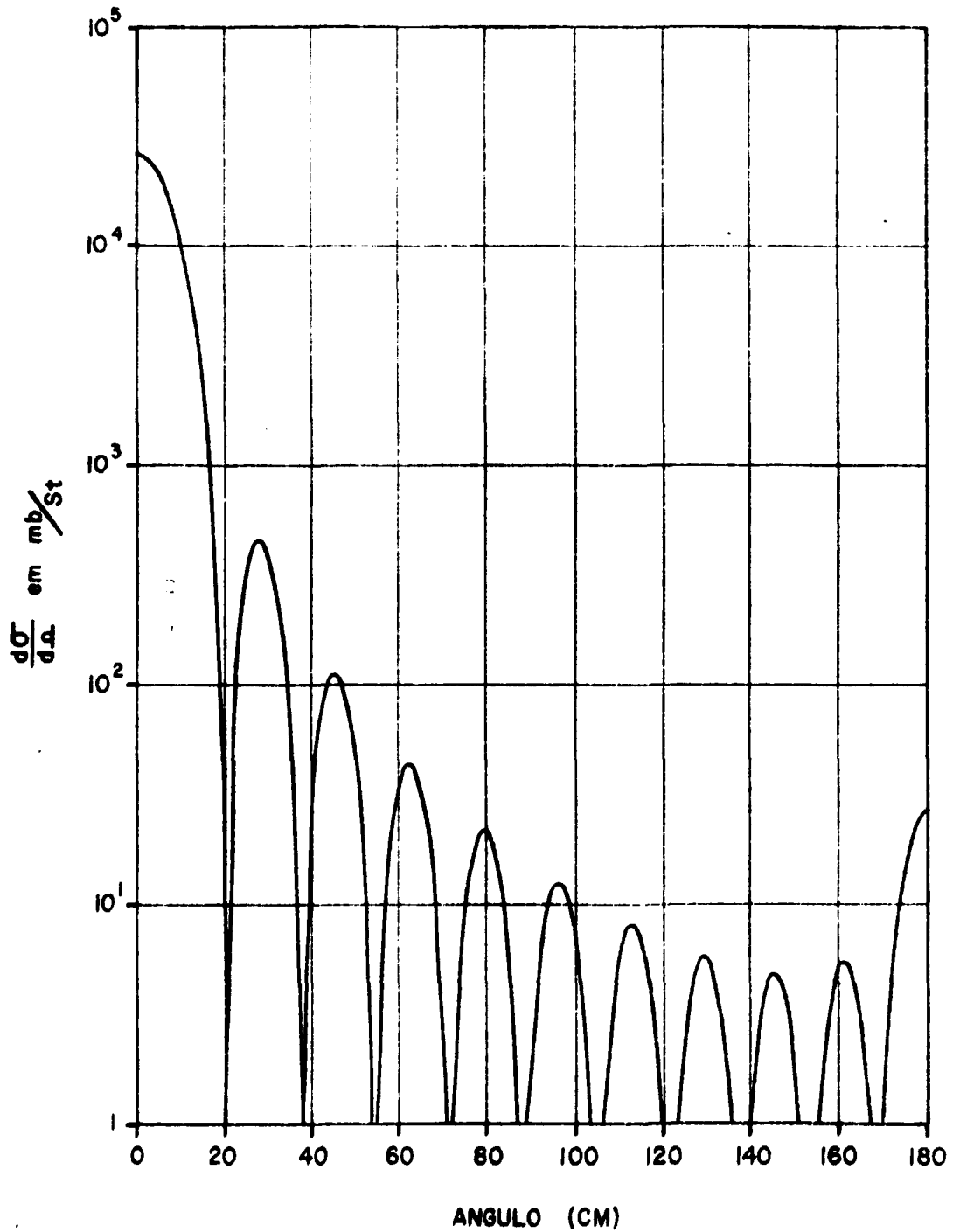


Figura 24f

SECÇÃO DE CHOQUE ELÁSTICA DIF.

A = 232

ENERGIA = 5 MeV.

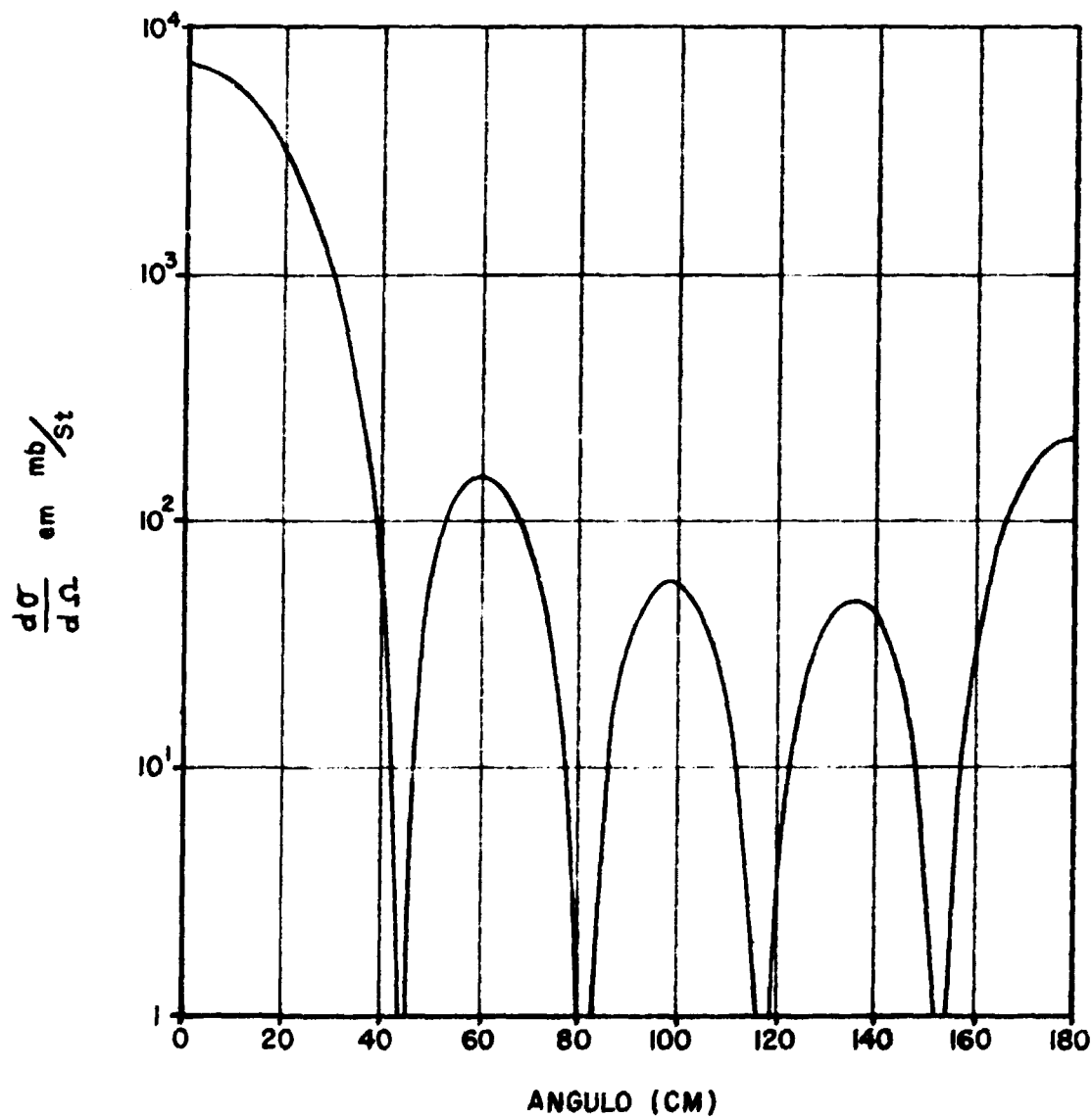


Figura 25a

SECÇÃO DE CHOQUE ELÁSTICA DIF.

A = 232

ENERGIA = 10 MeV

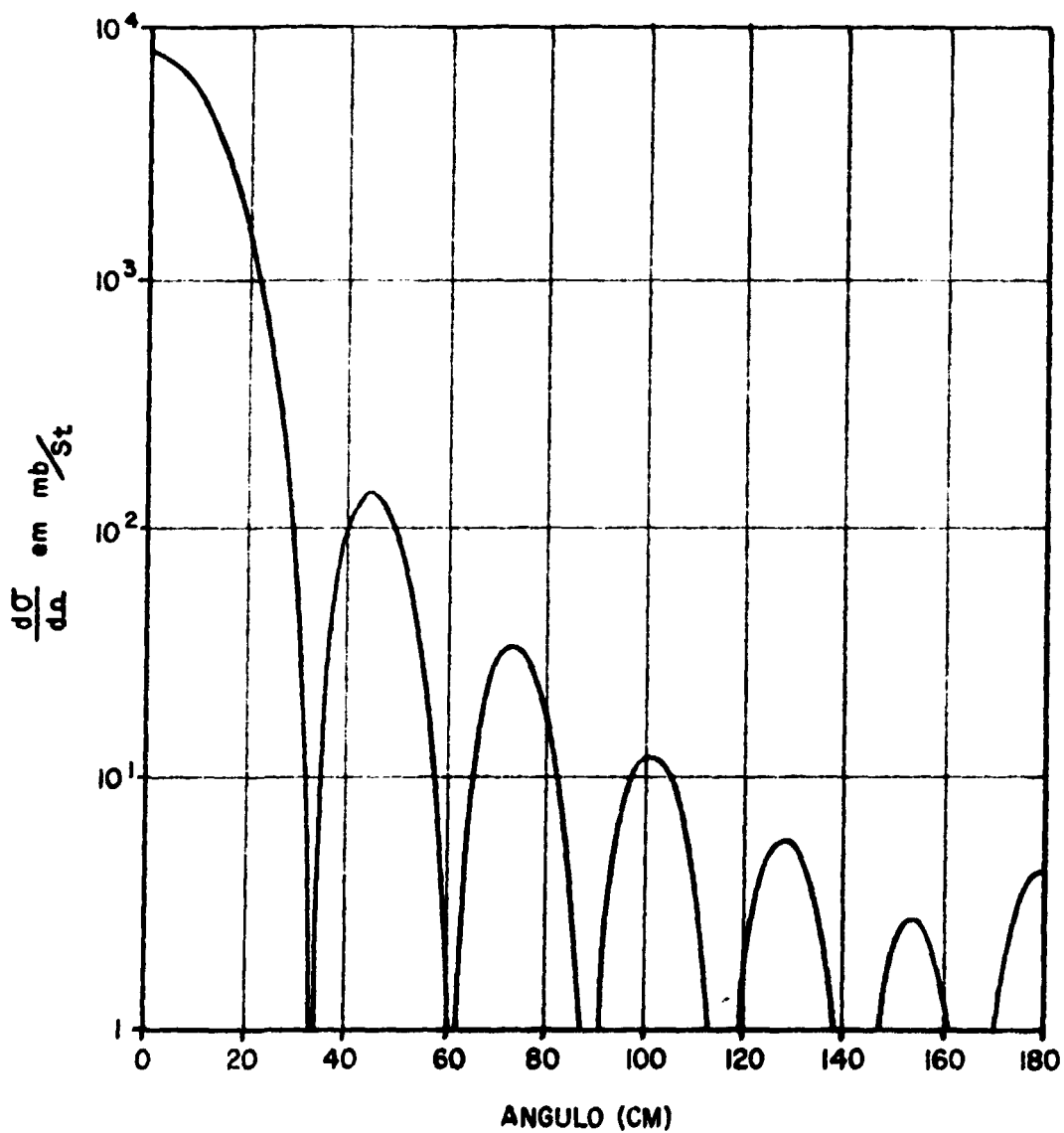


Figura 25b

SECÇÃO DE CHOQUE ELÁSTICA DIF.

A = 232

ENERGIA = 15 MeV

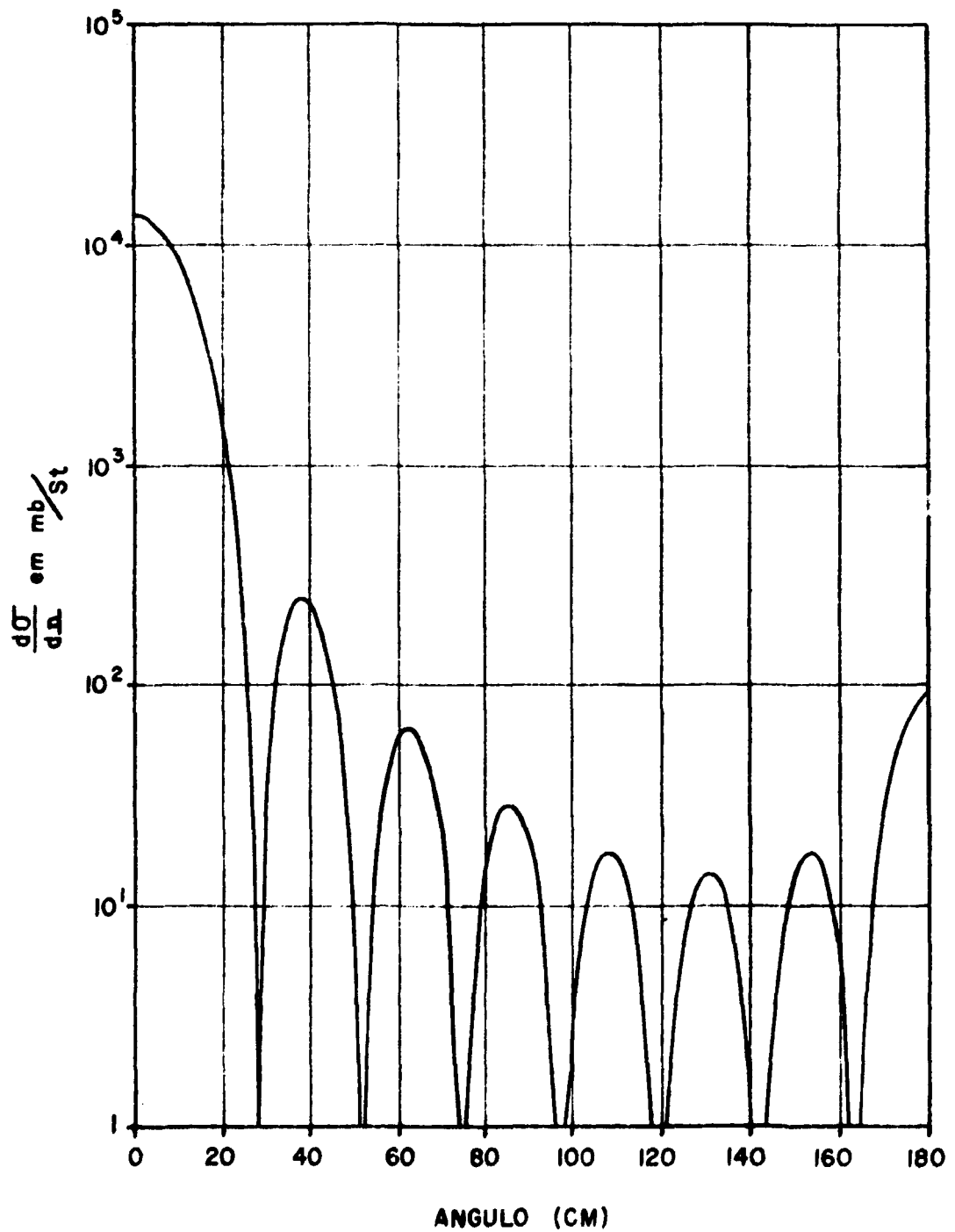


Figure 25c

SECÇÃO DE CHOQUE ELÁSTICA DIF.

A = 232

ENERGIA = 20 MeV

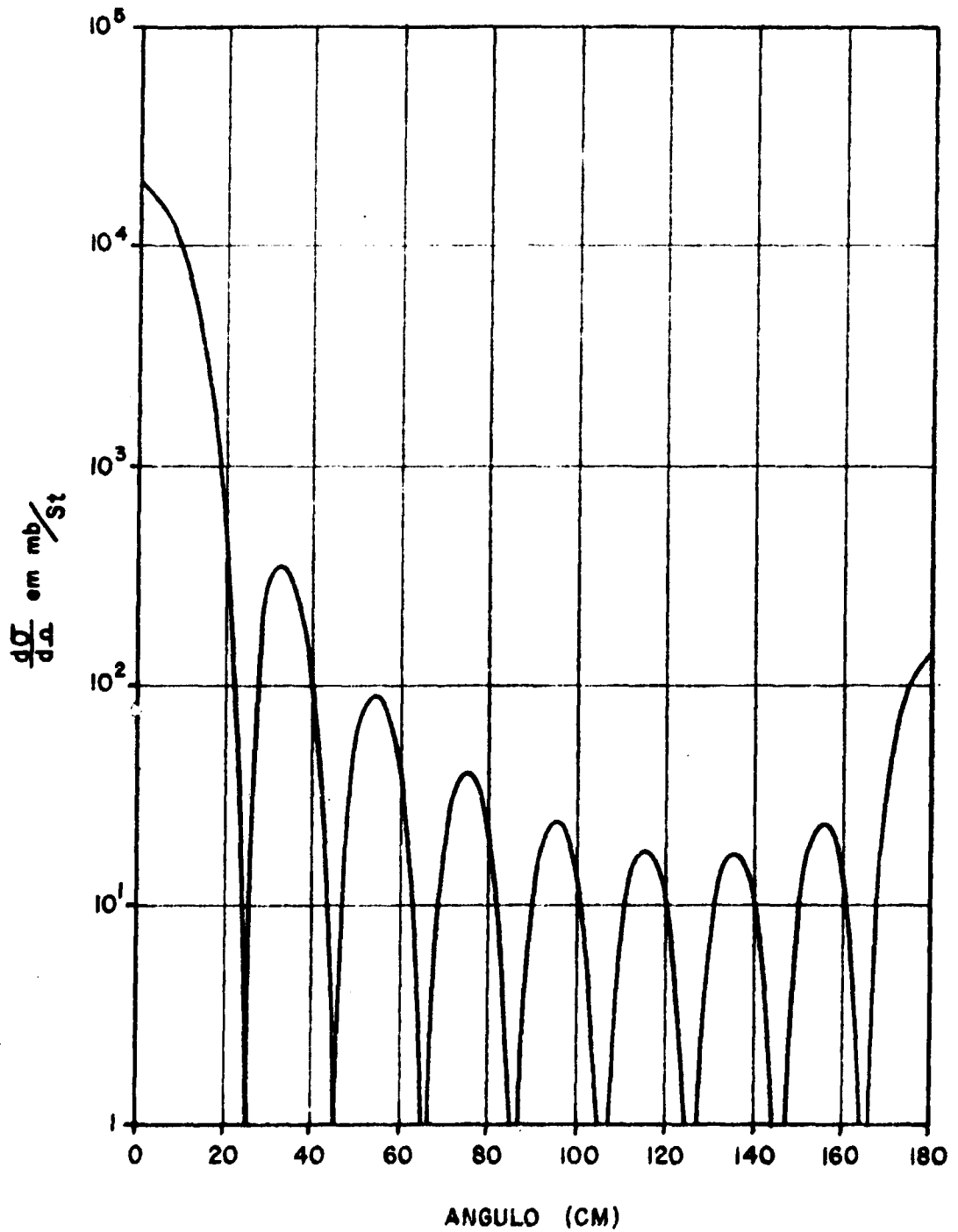


Figura 25d

SECÇÃO DE CHOQUE ELÁSTICA DIF.

A = 232

ENERGIA = 25 MeV

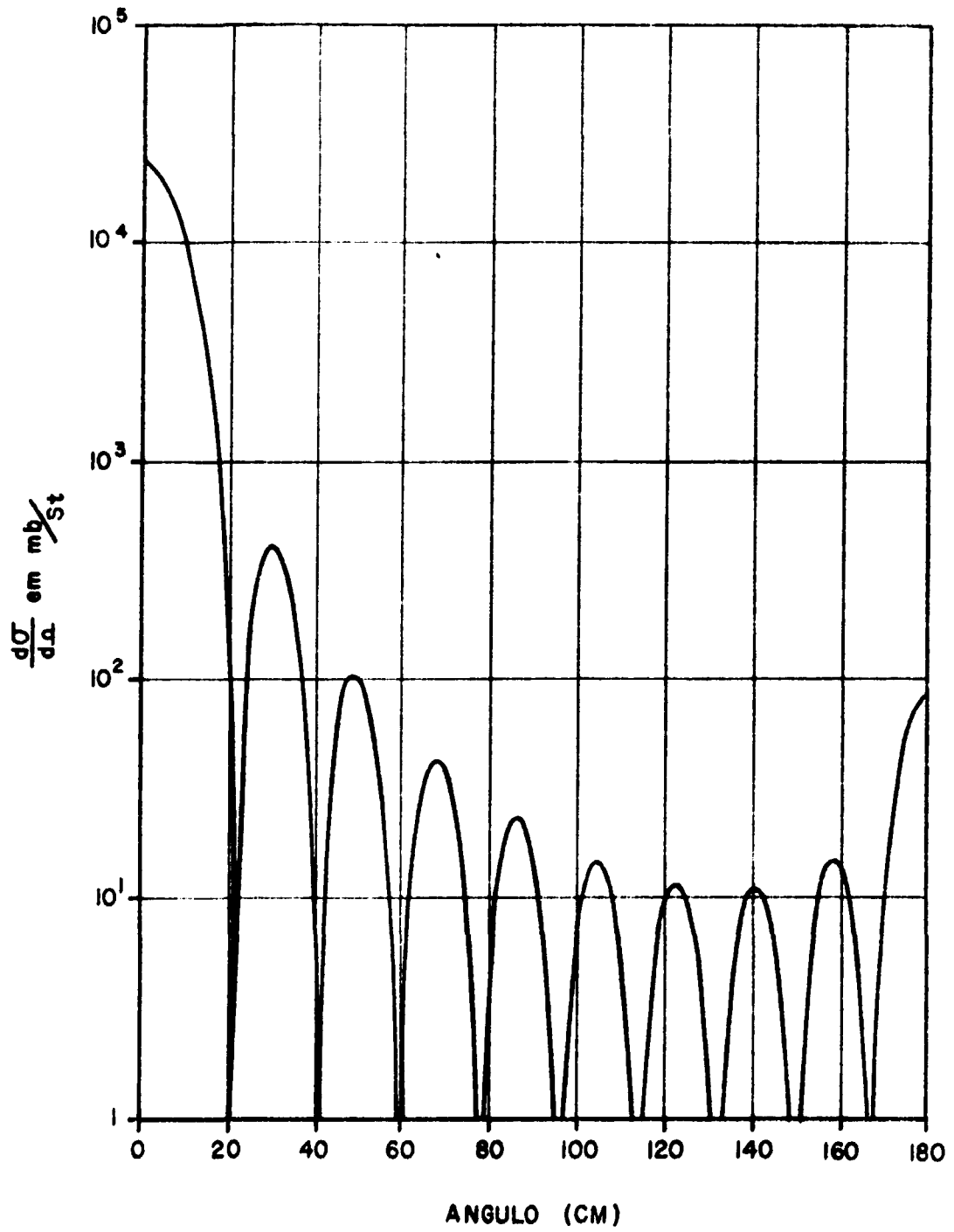


Figura 25e

SECÇÃO DE CHOQUE ELÁSTICA DIF.

A = 232

ENERGIA = 30 Mev

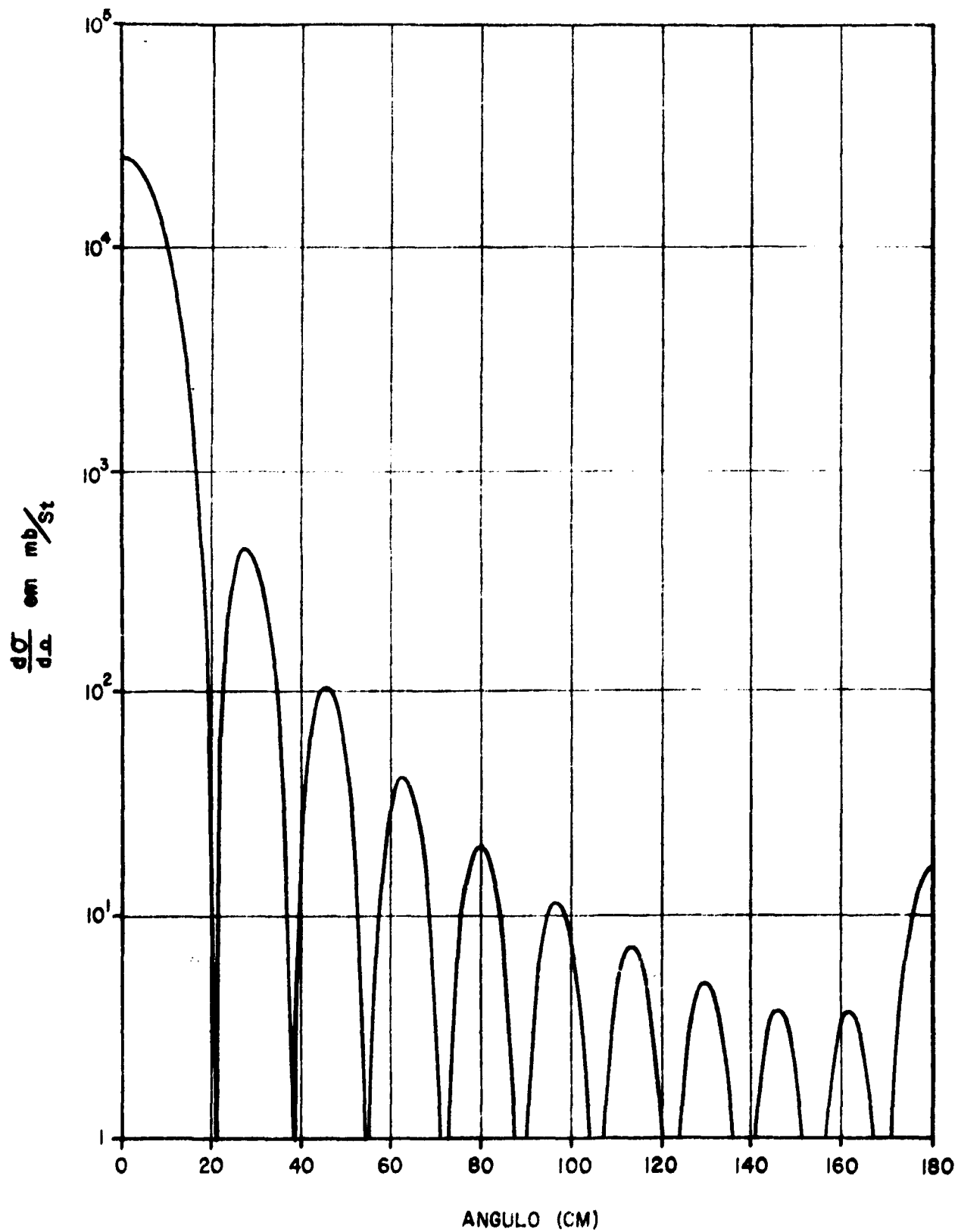


Figura 25f

## IX - CONCLUSÃO

O modelo semiclássico é aproximadamente válido em um grande intervalo de energias de 1 a mais de 20 MeV, e para núcleos com  $A > 10$ . Os parâmetros  $a$ ,  $q$ ,  $p$  e  $r$  podem ser interpretados em termos do modelo ótico para energias superiores a 10 MeV, ao passo que para energias inferiores, eles podem ser encarados como coeficientes empíricos que parametrizam as seções de choque.

As seções de choque diferenciais são, entretanto, particularmente sensíveis a particularidades dos núcleos, como deformações e vibrações. O modelo semiclássico só reproduz as seções de choque diferenciais muito pobremente. Para ângulos superiores a  $40^\circ$  no CM, os resultados apresentam discrepâncias da ordem de 50%.

## X - REFERÊNCIAS

### Livros que abordam o problema do espalhamento de nêutrons

- /B1/ - I. Kaplan, Nuclear Physics, Addison Wesley (1963)
- /B2/ - H. V. Buttlar, Nuclear Physics an Introduction, Academic Press (1968)
- /B3/ - T. Wu and T. Ohmura, Quantum Theory of Scattering Prentice-Hall (1962)
- /B4/ - J. L. Powell and B. Craseman, Quantum Mechanics, Addison-Wesley (1961)

### Trabalhos de resenha sobre o modelo ótico

- /R1/ - T.D. Beynon, The Nuclear Physics of Fast Reactors, Rep. Prog. Phys. 37, 951 (1974)
- /R2/ - H. Feshbach, Ann. Rev. Nucl. Sci. 8, 49 (1958)
- /R3/ - P.E. Hodgson, Ann. Rev. Nucl. Sci. 17, 1 (1967)
- /R4/ - P.E. Hodgson, Rep. Prog. Phys. 34, 765 (1971)
- /R5/ - B. Sinha, Phys. Rep. 20C, 1, (1975)

### Referências sobre o modelo ótico

- / 1 / - J.C. Ferrer, J.D. Carlso and I. Rapaport, Nucl. Phys. A275, 325 (1977)
- / 2 / - F. Perey and B. Buck, Nucl. Phys. 32, 353 (1962)
- / 3 / - I. Angeli and J. Csikai, Nucl. Phys. A179, 577 (1971)
- / 4 / - I. Angeli, J. Csikai and P. Nagy, Nucl. Sci. and Eng. 55, 418 (1974)
- / 5 / - R.K. Adair, Rev. Mod. Phys. 22, 249 (1950)
- / 6 / - S. Fernbach, Rev. Mod. Phys. 30, 414 (1958)
- / 7 / - R.J. Howerton, UCRL - 5573

- / 8 / - Ferhbach, Porter and Weis Kopf, Phys. Rev. 96, 448 (1954)
- / 9 / - K. K. Seth, Rev. Mod. Phys. 30, 442 (1958)
- /10/ - H. Feshboch, C.E. Pater and V. Weisskopf, Phys. Rev. 96, 448 (1954)
- /11/ - J. Raynal, Programa MAGALI, por exemplo
- /12/ - R.D. Mackintosh, Nucl. Phys. A164, 398 (1971)
- /13/ - J. Raynal, Programa ECIS, por exemplo
- /14/ - J.M. Peterson, Phys. Rev. 125, 955 (1962)
- /15/ - Buccino, Hollandsworth e Bevington, Z. Physik, 196, 103 (1962)
- /16/ - Flerov Talizin, Atom. Energ. 1, 155 (1955)
- /17/ - Hudson Walkar e Berko, Phys. Rev. 128, 1271 (1962)
- /18/ - Bjorklund and Fernbach, Phys. Rev. 109, 1925 (1958)
- /19/ - Neutron Cross Sections, Vol III, pág. 46, Feb. 1965
- /20/ - I. Angeli et al, Acta Physica Scientiarum Hungaricae, 30, 115 (1971)
- /21/ - F. Perey and B. Buck, Nucl. Phys. 32, 353 (1962)
- /22/ - D.J. Hughes and R.B. Sch , "Neutron Cross Sections", Report BNL 325 (1958)
- /23/ - Okazaki, Darden and Walton, "Total Cross Sections of Rare for fast Neutrons", Phys.Rev. 93, 461 (1954)